

# کاربرد روش کمترین مربعات برای تحلیل و طراحی مسائل مهندسی الکترومغناطیس

همایون عریضی

استاد مهندس برق، دانشگاه علم و صنعت ایران

\*تهران، نارمک، کدپستی ۱۶۸۴۴

*h\_oraizi@IUST.ac.ir*

**چکیده-** در این مقاله، کاربرد روش عددی کمترین مربعات برای حل مسائل مختلف مهندسی الکترومغناطیس بطور اجمالی مرور و بررسی می‌شود. در اینجا، روش کمترین مربعات برای تحلیل و طراحی مسائل مختلف به کار می‌رود، مانند: حل معادلات، برازش منحنی به داده‌های اندازه‌گیری، ضرایب سری فوریه، معادلات با کارگردانه‌های خطی، معادلات انتگرالی و دیفرانسیلی، مسائل الکتروستاتیک ساکن و مغناطیس ساکن، مسائل مقادیر مرزی (توسط روش باقیمانده مرزی کمترین مربعات)، طراحی میدلهای امپدانس و خطوط پله‌ای و باریک شونده برای تطبیق امپدانس، طراحی بهینه پیوندهای جهتی چند سوراخه، پیونده خط پیونیده، پیونده خط شاخه‌ای، پیونده حلقوی، تحلیل آنتن سیمی، ستر پرتو آنتن، ستر آرایه و پراکندگی. در این مطالعه آشکار می‌شود که روش عددی کمترین مربعات را می‌توان برای تدوین الگوریتمهای موثری برای تحلیل و طراحی مسائل مختلف در موضوعات تشعشع، پراکندگی، آنتنها، میکروویو، ریاضیات مهندسی و غیره به کار برد. بعضی مقالات و کتب منتشر شده در زمینه کاربردهای روش کمترین مربعات برای تحلیل و طراحی مسائل مهندسی الکترومغناطیس گروه‌بندی شده و در بخش مراجع ذکر شده است.

**کلید واژگان:** روش کمترین مربعات، روش باقیمانده مرزی کمترین مربعات، روشهای عددی در الکترومغناطیس، تابع خطا، بهینه‌سازی، کمینه‌سازی، حل معادلات، معادلات انتگرالی و دیفرانسیلی، معادلات خطی، قطعات میکروویو، آنتن، آرایه، تشعشع‌کننده، پراکندگی.

## ۱- مقدمه

مربعات<sup>۱</sup> را ابداع کرد [۱]. از آن پس این نظریه توانایی‌اش را برای تحلیل و طراحی بسیاری از مسائل عملی و مهندسی نشان داده است. نظریه کمترین مربعات بر مبنای ساخت یک

کارل فردریک گاوس ریاضیدان برجسته آلمانی در دوره تحصیلات دانشگاهی‌اش در پایان قرن هیجدهم نظریه کمترین

1. Method of least squares (MLS)

تابع خطا<sup>۱</sup> و تعیین نقطه یا نقاط حداقل‌اش<sup>۲</sup> توسط یک روش بهینه‌سازی<sup>۳</sup> (مانند روش پرشیب‌ترین فرود<sup>۴</sup>، گرادیان مزدوج<sup>۵</sup>، الگوریتم وراثتی<sup>۶</sup>، انیلینگ برانگیخته<sup>۷</sup> و غیره) قرار دارد [۳ و ۲]. تابع خطا معمولاً بصورت مجذور تفاضل بین تابع تقریبی و تابع مطلوب یک کمیت مورد نظر مسئله ساخته می‌شود. تابع خطا می‌تواند بصورت بزرگتر یا کوچکتر از توان ۲ نیز ساخته شود. ولی تابع حاصل پیچیدگی بیشتری نیز خواهد داشت. بنابراین، تدوین یک روش عددی کمترین مربعات برای حل یک مسئله علمی و مهندسی شامل تحلیل فیزیکی و ریاضی مسئله، ساخت یک تابع خطا و تعیین نقطه یا نقاط حداقل‌اش توسط یک روش بهینه‌سازی تحت قید<sup>۸</sup> می‌باشد.

اگر تابع خطا یک تابع درجه دوم متغیرهای مسئله باشد، تابع خطا تنها یک نقطه حداقل دارد و بهینه‌سازی و تعیین نقطه حداقل‌اش منجر به حل یک معادله خطی ماتریسی خواهد شد. بنابراین، برای تعیین نقطه حداقل چنین تابع خطائی می‌توان از یک روش بهینه‌سازی و یا از یک روش حل معادلات خطی [۴-۷] استفاده کرد. بسیاری از روشهای عددی مانند روش ممان به یک معادله خطی ماتریسی می‌رسد که باید توسط یکی از روشهای معمول یا معکوس کردن یک ماتریس حل شود. روش گرادیان مزدوج [۲۰] را نیز می‌توان برای حل معادلات خطی به کار برد، که در مقاله دیگری شرح داده خواهد شد.

در این مقاله بعضی از کاربردهای روش کمترین مربعات

را برای تدوین الگوریتمهای عددی برای حل بعضی از مسائل ریاضی و مهندسی الکترومغناطیس مرور می‌کنیم. البته کاربردهای روش کمترین مربعات بسیار وسیعتر از آن است که بتواند در این مقاله مختصر ارائه شود. ابتدا، روش کمترین مربعات را برای برازش یک منحنی به داده‌های اندازه‌گیری، تعیین ضرایب سری فوریه یک تابع و حل معادلات خطی، غیر خطی و چند جمله‌ای شرح می‌دهیم. سپس، حل معادلات دیفرانسیلی و انتگرالی و حل معادله شرایط مرزی توسط روش کمترین مربعات ارائه می‌شود. حالت کلیتر حل معادلات شامل کارگردانهای انتگرالی و دیفرانسیلی نیز بیان می‌شود. آنگاه حل مسئله مقادیر مرزی در میکروویو مانند پیوندگاه موجبرهای استوانه‌ای توسط

روش باقیمانده مرزی کمترین مربعات<sup>۹</sup> شرح داده می‌شود. طراحی مبدل‌های امپدانس برای خطوط انتقال مانند موجبرهای توخالی و میکرواستریپ توسط روش کمترین مربعات بیان می‌شود. طراحی پیوندهای جهتی چندسوراخه، پیونده خط پیونیده، پیونده خط شاخه‌ای و پیونده حلقوی توسط این روش نیز بیان می‌شود. بالاخره، ستر پرتو آنتن و آرایه آنتنها ارائه می‌شود. یادآوری می‌شود که کاربردهای روش کمترین مربعات بسیار گسترده‌تر از چند مثالی است که در این مقاله ذکر می‌شود. بعضی از مقالات منتشر شده در زمینه کاربرد روش کمترین مربعات برای حل مسائل میکروویو و آنتن در بخش مراجع گروه بندی شده است. بنابراین، روش کمترین مربعات به عنوان یکی از روشهای عددی تحلیل و طراحی مسائل الکترومغناطیس تلقی می‌شود که توانائی تدوین الگوریتمهای مناسب را بر مبنای نظریه الکترومغناطیس دارد [۸-۲۵].

## ۲- حل معادلات توسط روش کمترین مربعات [۲۶-۲۹]

1. Error function
2. Minimum point
3. Optimization
4. Steepest descent
5. Conjugate gradient (CG)
6. Genetic algorithm (GA)
7. Stimulated annealing (SA) (سخت کردن، گرم و سرد کردن تدریجی)
8. Constraint

9. Least Squares Boundary Residual Method (LSBRM)

فرض کنید می‌خواهیم صفرهای معادله

$$F(z, z^*) = 0 \quad (1)$$

را که تابع متغیر مختلط  $z$  و مزدوج‌اش  $z^*$  بوده و شامل پارامترها و ثابتهای مختلط نیز هست، تعیین کنیم. تابع خطائی را بصورت

$$\varepsilon = F(z, z^*) F^*(z, z^*) = |F(z, z^*)|^2 \quad (2)$$

می‌سازیم که تابع حقیقی و غیر منفی است. تابع خطائی  $\varepsilon$  تابع متغیرهای حقیقی  $x$  و  $y$  است. صفرهای تابع  $F$  بصورت متغیر مختلط  $z$  به دست می‌آید، در صورتی که صفرهای  $\varepsilon$  بصورت متغیرهای حقیقی  $x$  و  $y$  تعیین می‌شود. بطور کلی، تابع  $F$  دارای صفرهای (متغیر مختلط) متعددی است که در هر یک از آنها تابع خطا دارای یک صفر محلی است. اگر تابع  $F$  دارای صفر نباشد، حداقل‌های تابع خطا، نقاط حداقل اندازه تابع  $F$  را به دست می‌دهد. برای تدوین روش عددی کمترین مربعات و کاربرد یک الگوریتم حداقل‌سازی، لازم است که مشتقهای جزئی  $\varepsilon$  را نسبت به متغیرهای حقیقی  $x$  و  $y$  در  $z=x+jy$  محاسبه کنیم. بنابراین، از قانون زنجیری مشتق‌گیری داریم [۸]

$$\frac{\partial \varepsilon}{\partial x} = \frac{\partial \varepsilon}{\partial z} + \frac{\partial \varepsilon}{\partial z^*} \quad (3)$$

$$\frac{\partial \varepsilon}{\partial y} = j \left( \frac{\partial \varepsilon}{\partial z} - \frac{\partial \varepsilon}{\partial z^*} \right) \quad (4)$$

بنابراین، اگر  $\frac{\partial \varepsilon}{\partial z} = 0$  و  $\frac{\partial \varepsilon}{\partial z^*} = 0$  باشد، پس  $\frac{\partial \varepsilon}{\partial x} = 0$  و  $\frac{\partial \varepsilon}{\partial y} = 0$  است و برعکس. از آنجا که  $\varepsilon$  یک تابع حقیقی است، رابطه زیر صادق است:

$$\frac{\partial \varepsilon}{\partial z^*} = \left( \frac{\partial \varepsilon}{\partial z} \right)^* \quad (5)$$

پس معادلات (۳) و (۴) را می‌توان بصورت زیر نوشت:

$$\frac{\partial \varepsilon}{\partial x} = 2 \operatorname{Re} \left( \frac{\partial \varepsilon}{\partial z^*} \right) \quad (6)$$

$$\frac{\partial \varepsilon}{\partial y} = 2 \operatorname{Im} \left( \frac{\partial \varepsilon}{\partial z^*} \right) \quad (7)$$

بنابراین، برای آنکه نقاط حداقل (یا حداکثر یا نقاط

عطف) تابع خطا را برای  $\frac{\partial \varepsilon}{\partial x} = \frac{\partial \varepsilon}{\partial y} = 0$  به دست آوریم، کافی

است که مشتق  $\varepsilon$  را نسبت به  $z^*$  محاسبه کرده و برابر صفر قرار دهیم:

$$\frac{\partial \varepsilon}{\partial z^*} = F^* \frac{\partial F}{\partial z^*} + F \frac{\partial F^*}{\partial z^*} = 0 \quad (8)$$

در نتیجه، یا  $F=0$  یا  $\frac{\partial F}{\partial z^*} = \frac{\partial F}{\partial z} = 0$  منجر به  $\frac{\partial \varepsilon}{\partial z^*} = 0$  می‌شود و برعکس. برای یافتن یک صفر تابع  $F$ ، ابتدا مقادیر اولیه‌ای را برای  $x$  و  $y$  اختیار می‌کنیم و از یک الگوریتم بهینه‌سازی برای تعیین یک حداقل محلی  $\varepsilon$  متناظر با یک صفر تابع  $F$  استفاده می‌کنیم. [۲-۳]

برای بعضی از توابع مانند چند جمله‌ایها، یک صفر به دست آمده را می‌توان از تابع تفکیک کرد. در هر حال، با اختیار مقدار اولیه دیگری برای  $x$  و  $y$  در مجاورت یک حداقل محلی دیگر، صفر دیگر تابع را می‌توان توسط الگوریتم بهینه‌سازی به دست آورد.

برای مثال، در مبحث تشدیدکننده‌های میکروویو، معادلات متعالی<sup>۱</sup> شبیه [۱۳، صفحه ۵۱۸].

$$\tan x + Ax = 0 \quad (9)$$

یا شبیه [۱۴، صفحه ۲۶۴]

$$\tan x - \frac{B}{x} = 0 \quad (10)$$

پدید می‌آید که می‌توان توسط روش کمترین مربعات حل کرد. توابع خطای متناظر عبارتند از:

$$\varepsilon_1 = (\tan x + Ax)^2 \quad (11)$$

$$\varepsilon_2 = \left( \tan x - \frac{B}{x} \right)^2 \quad (12)$$

که در نقاط  $x = (2n+1)\frac{\pi}{2}$  با  $n$  برابر یک عدد صحیح بی‌نهایت می‌شود و در نقطه‌ای بین آنها تابع خطا یک صفر محلی دارد. بنابراین، با استفاده از یک روش بهینه‌سازی و



$$\bar{z} = [L]^* [L]^{-1} [L]^* \bar{b} \quad (20)$$

ماتریس  $[L]^* [L]$  هر میتی است و از الگوریتم "چولسکی" [۳] می توان برای معکوس کردن اش استفاده کرد. جواب حاصل از لحاظ کمترین مربعات بهینه است، زیرا اندازه تابع خطا برای این جواب حداقل می باشد.

بعنوان مثال چهارم، حل یک مجموعه معادلات غیر خطی چند مجهولی را توسط روش کمترین مربعات بررسی می کنیم. برای سادگی تعداد  $M$  معادله غیر خطی تابع تعداد  $N$  متغیر مختلط را در نظر می گیریم.

$$f_m(z_1, z_2, \dots, z_N) = 0, \quad m = 1, 2, \dots, M \quad (21)$$

تابع خطا و مشتق اش نسبت به  $z_k^*$  عبارتند از:

$$\varepsilon = \sum_{m=1}^M f_m f_m^* \quad (22)$$

$$\frac{\partial \varepsilon}{\partial z_k^*} = \sum_{m=1}^M f_m \frac{\partial f_m^*}{\partial z_k^*} \quad k = 1, 2, 3, \dots, N$$

که با استفاده از یک روش کمینه سازی و معادلات (۶) و (۷)، مجهولهای  $z_k$  به دست می آید.

### ۳- برازش منحنی به داده های اندازه گیری [۴]

فرض کنید که می خواهیم ترکیب خطی یک مجموعه توابع معلوم  $f_n(z)$  را برای برازش منحنی به داده های اندازه گیری به کار ببریم.

$$g(z) = \sum_{n=1}^N a_n f_n(z) \quad (23)$$

در اینجا  $f_n(z)$  توابع مشخصی است که برای یک مجموعه چند جمله ایها می تواند بصورت  $f_n = z^n$  باشد،  $N$  تعداد توابع و  $a_n$  ضرایب مجهول می باشد. تعداد داده های  $w_i$  در نقاط  $z_i$  برابر  $M$  است. بنابراین، انحراف منحنی برازش از داده در نقطه  $z_i$  برابر است با

مشتق گیری توابع خطا، صفر معادلات متعالی سابق الذکر به دست می آید. توجه می کنیم که در نقاط حداکثر تابع خطا (با اندازه ای برابر بی نهایت) مشتق تابع خطا صفر نمی شود.

بعنوان مثال دوم، صفرهای یک چند جمله ای کلی دارای ضرایب مختلط  $(a_n)$

$$F(z) = \sum_{n=0}^N a_n z^n \quad (13)$$

را نیز می توان با روش کمترین مربعات تعیین کرد. تابع خطا عبارتست از:

$$\varepsilon = F(z) F^*(z) = \sum_{n=0}^N \sum_{m=0}^N a_n a_m^* z^n (z^*)^m \quad (14)$$

مشتق هایش را می توان بسهولت توسط معادلات (۶) و (۷) محاسبه کرد.

بعنوان مثال سوم، حل یک مجموعه معادلات خطی شامل ضرایب مختلط را توسط روش کمترین مربعات در نظر می گیریم.

$$[L] \bar{z} = \bar{b} \quad (15)$$

در اینجا  $[L]$  ماتریس ضرایب،  $\bar{b}$  بردار ثابتهای مختلط و  $\bar{z}$  بردار متغیرهای مختلط مجهول می باشد. تابع خطا عبارتست از:

$$\varepsilon = [[L] \bar{z} - \bar{b}]^* [[L] \bar{z} - \bar{b}] \quad (16)$$

در اینجا ترانواده یک ماتریس توسط  $T$  نشان داده می شود. مشتق را نسبت به  $z_n^*$  می گیریم و برابر صفر قرار می دهیم:

$$\nabla^* \varepsilon = \left[ \frac{\partial \varepsilon}{\partial z_1^*}, \frac{\partial \varepsilon}{\partial z_2^*}, \dots, \frac{\partial \varepsilon}{\partial z_N^*} \right] \quad (17)$$

$$= [L]^* [[L] \bar{z} - \bar{b}] = 0 \quad (18)$$

در نتیجه:

$$[L]^* [L] \bar{z} = [L]^* \bar{b} \quad (19)$$

در واقع این معادله خطی از ضرب  $[L]^*$  در معادله (۱۵) به دست می آید. تعداد معادلات اش برابر تعداد مجهولات است، هر چند که معادله (۱۵) این چنین نباشد.

$$C_k = \frac{\int_a^b f(x) \phi_k(x) dx}{\int_a^b [\phi_k(x)]^2 dx} \quad (30)$$

این رابطه را می‌توان از طریق ضرب مستقیم سری (۲۷) در  $\phi_k$  و انتگرال‌گیری نیز به دست آورد. اگر مجموعه توابع پایه متعامد و بهنجار شده باشند، مخرج کسر (۳۰) برابر یک خواهد بود. اگر توابع پایه مجموعه متعامدی را تشکیل ندهند، ولی معیذا تابع  $f(x)$  را در فاصله مطلوب نمایش دهند، معادله ماتریسی زیر به دست می‌آید.

$$[L_{ij}][C_j] = [b_i] \\ L_{ij} = \int_a^b \phi_i(x) \phi_j(x) dx \quad (31) \\ b_i = \int_a^b f(x) \phi_i(x) dx$$

#### ۵- معادلات با کارگردانه‌های خطی [۳۴]

می‌خواهیم معادله خطی ناهمگن

$$L(f) = g \quad (32)$$

را حل کنیم که در آن  $L$  کارگردان خطی،  $f$  تابع پاسخ مجهول و  $g$  تابع تحریک معلوم است. این معادله در فاصله  $[a, b]$  تعریف می‌شود.

تابع تفاضل  $u = L(f) - g$  و تابع خطائی را بصورت ضرب داخلی زیر تعریف می‌کنیم:

$$\varepsilon = \langle u, u^* \rangle = \int_a^b uu^* dx \quad (33) \\ = \int_a^b [L(f) - g][L^*(f^*) - g] dx$$

فرض کنید که تابع  $f$  را بتوان بصورت جمع توابع پایه  $f_n$  نوشت

$$f = \sum_{n=1}^N a_n f_n \quad (34)$$

در اینجا  $a_n$  ضرایب مختلط مجهول هستند. معادله (۳۴) را در معادله (۳۲) و سپس در معادله (۳۳) جایگزین می‌کنیم. برای تعیین ضرایب مجهول  $a_n$  و نقطه حداقل تابع خطا، مشتق  $\varepsilon$  را نسبت به  $a_m^*$  گرفته و برابر صفر قرار می‌دهیم. در

$$r_i = w_i - \sum_{n=1}^N a_n f_n(z_i) \quad (24)$$

بنابراین، مجموع مجذور انحرافات را به دست می‌آوریم.

$$\varepsilon = \sum_{i=1}^M |r_i|^2 \quad (25) \\ = \sum_{i=1}^M \left[ w_i - \sum_{n=1}^N a_n f_n(z_i) \right] \left[ w_i - \sum_{n=1}^N a_n f_n(z_i) \right]^*$$

مشتق  $\varepsilon$  را نسبت به  $a_m^*$  محاسبه کرده و برابر صفر قرار می‌دهیم و در نتیجه معادله خطی زیر را به دست می‌آوریم:

$$[L_{mn}][a_n] = [b_m] \Rightarrow [a_n] = [L_{nm}]^{-1}[b_m] \quad (26) \\ L_{mn} = \sum_{i=1}^M f_m^*(z_i) f_n(z_i), \quad b_m = \sum_{i=1}^M w_i f_m^*(z_i)$$

#### ۴- ضرایب سری فوریه تعمیم یافته [۷-۴]

فرض کنید که تابع  $f(x)$  را بتوانیم بصورت یک مجموعه توابع حقیقی متعامد  $\phi_n(x)$  در فاصله  $[a, b]$  بسط دهیم.

$$f(x) = \sum_{n=1}^N C_n \phi_n(x) \quad (27)$$

در اینجا  $C_n$  ضرایب فوریه هستند. تابع خطای متناظر را بصورت زیر می‌سازیم:

$$\varepsilon = \int_a^b \left[ \sum_n C_n \phi_n(x) - f(x) \right]^2 dx \quad (28)$$

برای تعداد محدود توابع پایه، حداقل تابع خطا  $\varepsilon$  بهترین نمایش تابع  $f(x)$  را توسط سری (۲۷) از لحاظ کمترین مربعات در فاصله  $[a, b]$  نشان می‌دهد. کلیه مشتقات  $\varepsilon$  نسبت به  $C_k$  در نقطه حداقل برابر صفر می‌باشد.

$$\frac{\partial \varepsilon}{\partial C} = \quad (29)$$

$$2 \sum_{n=1}^N C_n \int_a^b \phi_n(x) \phi_k(x) dx - 2 \int_a^b f(x) \phi_k(x) dx$$

بنابراین بر طبق تعامد توابع پایه  $\phi_n$ ، ضرایب فوریه به دست می‌آید.

نتیجه، معادلات زیر حاصل می شود:

$$[l_{mn}][a_n] = [g_m] \quad (35)$$

$$l_{mn} = \langle L(f_m), L^*(f_n^*) \rangle = \int_a^b L(f_m) L^*(f_n^*) dx \quad (36)$$

$$g_m = \langle g, L^*(f_m^*) \rangle = \int_a^b g L^*(f_m^*) dx$$

واضح است که توابع وزنی مورد بحث در روش ممان [۸]، در اینجا بطور طبیعی بصورت  $L^*(f_m^*)$  در تحلیل ظاهر می شود.

برای مثال، معادله دیفرانسیل

$$-\frac{d^2 f}{dx^2} = 1 + 4x^2 \quad (37)$$

را تحت شرایط مرزی  $f(0)=f(1)=0$  توسط روش کمترین مربعات حل می کنیم [۸]. کارگردان خطی  $L = -\frac{d^2}{dx^2}$  است. فرض می کنیم که تابع  $f$  را بصورت مجموع توابع پایه

$$f = \sum_{n=1}^N a_n (x - x^{n+1}) \quad (38)$$

که شرایط مرزی را ارضاء می کند، نمایش دهیم. تابع وزنی در مرجع [۸] بصورت  $f_m = x - x^{m+1}$  فرض شده است، در صورتی که در اینجا تابع وزنی عبارتست از:

$$L^*(f_m^*) = -\frac{d^2}{dx^2} (x - x^{m+1}) = m(m+1)x^{m-1} \quad (39)$$

بنابراین، با استفاده از معادلات (۳۶) و (۳۹) داریم

$$l_{mn} = \frac{m(m+1)(n+1)}{m+n-1}, \quad g_m = \frac{(m+1)(5m+2)}{m+2} \quad (40)$$

در نتیجه،

$$N=1, \quad a_1 = \frac{7}{6}$$

$$N=2, \quad \begin{bmatrix} 4 & 6 \\ 6 & 12 \end{bmatrix} \begin{bmatrix} a_1 \\ a_2 \end{bmatrix} = \begin{bmatrix} 14 \\ 9 \end{bmatrix} \quad a_1 = \frac{1}{6}, \quad a_2 = \frac{2}{3}$$

$$N=3, \quad \begin{bmatrix} 4 & 6 & 8 \\ 6 & 12 & 18 \\ 8 & 18 & \frac{144}{5} \end{bmatrix} \begin{bmatrix} a_1 \\ a_2 \\ a_3 \end{bmatrix} = \begin{bmatrix} 14 \\ 9 \\ \frac{68}{5} \end{bmatrix} \quad a_1 = \frac{1}{2}, \quad a_2 = 0, \quad a_3 = \frac{1}{3}$$

بنابراین، جواب دقیق برای  $N=3$  یعنی

$$f = \frac{1}{2}(x - x^2) + \frac{1}{3}(x - x^4)$$

ممکن است توابع پایه ای که شرایط مرزی را ارضاء می کند، وجود نداشته باشد و یا حداقل شناسائی و انتخاب شان واضح نباشد. بنابراین، در کاربرد روش کمترین مربعات، می توان تابع پایه را بر مبنای ویژگیهای دیگر مسئله انتخاب کرد و تابع خطا را بصورت جمع خطاهای ناشی از معادله خطی و شرایط مرزی متناظرش ساخت. شرایط مرزی را بصورت کلی زیر می نویسیم:

$$\bar{M}(f) = \bar{C} \quad (41)$$

در اینجا  $\bar{M}$  یک بردار شامل تابعهای (فانکشنال) خطی و  $\bar{C}$  یک بردار ثابت است. عناصر  $\bar{M}$  شامل عبارات و کارگردانهائی هستند که شرایط مرزی را نمایش می دهد. بسط  $f$  در معادله (۳۸) را در معادله (۴۱) جایگزین می کنیم و سپس خطای جزئی ناشی از شرایط مرزی را می سازیم و مشتق اش را نسبت به  $a_m^*$  می گیریم.

$$\varepsilon_1 = \left[ \sum_n a_n \bar{M}(f_n) - \bar{C} \right]^T \left[ \sum_n a_n \bar{M}(f_n) - \bar{C} \right] \quad (42)$$

$$\frac{\partial \varepsilon_1}{\partial a_m^*} = \left[ \sum_n a_n \bar{M}(f_n) - \bar{C} \right]^T \bar{M}^*(f_m^*)$$

بنابراین، عناصر معادله (۳۵) عبارتند از:

$$l_{mn} = \langle L(f_m), L^*(f_n^*) \rangle + [\bar{M}(f_n)]^T \bar{M}^*(f_m^*) \quad (43)$$

$$g_m = \langle g, L^*(f_m^*) \rangle + \bar{C}^T \bar{M}^*(f_m^*) \quad (44)$$

مثال سابق الذکر را با فرض توابع پایه  $x^n$  (که شرایط مرزی را ارضاء نمی کند)، حل می کنیم. شرایط مرزی را بصورت معادله (۴۱) می نویسیم که اجزایش عبارتند از:

$$\bar{M}(f) = \begin{bmatrix} f(0) \\ f(1) \end{bmatrix}, \quad \bar{C} = \begin{bmatrix} 0 \\ 0 \end{bmatrix}$$

با توجه به  $f = \sum_n a_n x^n$  و شرط مرزی،  $a_0 = 0$  است، پس  $\bar{M} = [1]$  و  $\bar{C} = [0]$  بنابراین،



می‌زنیم.

$$g(y) = \sum_{n=1}^N C_n P_n \quad (46)$$

یعنی اندازه‌اش در فاصله  $\delta$  حول  $y_n$  برابر  $C_n = g(y_n)$  ثابت فرض می‌شود. معادله (46) را در معادله (45) جایگزین می‌کنیم.

$$\begin{aligned} f(x) &= \int_a^b K(x, y) \sum_{n=1}^N C_n P_n dy \\ &= \sum_n C_n \int_{a+(n-1)\delta}^{a+n\delta} K(x, y) dy \equiv \delta \sum_n C_n K_n(x) \end{aligned} \quad (47)$$

در تقریب اخیر اندازه هسته در هر زیر فاصله حول  $y_n$  ثابت با نماد  $K_n(x) = K(x, y_n)$  فرض شده است. هر قدر اندازه زیر فاصله‌ها ( $\delta$ ) کوچکتر باشد، دقت محاسبات بیشتر خواهد بود. حال، تابع خطائی در فاصله  $c \leq x \leq d$  می‌سازیم.

$$\varepsilon = \int_c^d \left| \sum_n C_n \int_{a+(n-1)\delta}^{a+n\delta} K(x, y) dy - f(x) \right|^2 dx \quad (48)$$

که تابع دامنه پالسها ( $C_n$ ) است. نقطه حداقل  $\varepsilon$  مجموعه دامنه‌ها را از لحاظ کمینه‌سازی کمترین مربعات به دست می‌دهد. مشتق جزئی  $\varepsilon$  نسبت به مزدوج مختلط  $C_n^*$  یک دستگاه معادلات خطی برای تعیین  $C_n$  به دست می‌دهد.

$$[l_{mn}][C_n] = [g_m] \quad (49)$$

$$\begin{aligned} l_{mn} &= \int_{x=c}^d \left[ \int_{a+(n-1)\delta}^{a+n\delta} K(x, y) dy \right] \left[ \int_{a+(m-1)\delta}^{a+m\delta} K(x, y) dy \right]^* dx \\ &= \int_c^d K_n(x) K_m^*(x) dx \end{aligned}$$

$$\begin{aligned} g_m &= \int_{x=c}^d f(x) \left[ \int_{a+(m-1)\delta}^{a+m\delta} K^*(x, y) dy \right] dx \\ &\equiv \int_c^d f(x) K_m^*(x) dx \end{aligned} \quad (50)$$

تقریب دقیقتر  $g(y)$  توسط یک رشته توابع مثلثی مطابق شکل ۲ است.

$$g(y) = \sum_n C_n T(y, y_n) \quad (51)$$

$$\langle L(f_m), L(f_m) \rangle = \frac{mn(m-1)(n-1)}{m+n-3}$$

$$\langle L(f_m), g \rangle = -\frac{m(5m-3)}{m+1},$$

$$\langle L(f_1), g \rangle = 0$$

$$[\overline{M}(f_n)]^T \overline{M}^*(f_m^*) = 1, \quad \overline{C}^T \overline{M}^*(f_m^*) = 0$$

$$\begin{bmatrix} 1 & 1 & 1 & 1 \\ 1 & 5 & 7 & 9 \\ 1 & 7 & 13 & 19 \\ 1 & 9 & 19 & \frac{149}{5} \end{bmatrix} \begin{bmatrix} a_1 \\ a_2 \\ a_3 \\ a_4 \end{bmatrix} = \begin{bmatrix} 0 \\ -\frac{14}{3} \\ -9 \\ -\frac{68}{5} \end{bmatrix}$$

$$[a_n] = \left[ \frac{5}{6}, -\frac{1}{2}, 0, -\frac{1}{3} \right]$$

## ۶- معادلات انتگرالی [۸۴-۸۲، ۳۴]

معادله انتگرالی می‌تواند از نوع "ولترا" یا "فرد هولم" و یا از نوع اول یا نوع دوم باشد. حل عددی این گونه معادلات انتگرالی را می‌توان توسط روش کمترین مربعات انجام داد. برای مثال، معادله انتگرالی "فرد هولم" از نوع اول را در نظر بگیرید که بصورت معادلات "پاکلینکتون" و "هالن" در مبحث آنها و تشعشع پدید می‌آید:

$$\int_a^b K(x, y) g(y) dy = f(x) \quad (45)$$

در اینجا تابع  $K(x, y)$  هسته (کرنل) معادله می‌باشد. معادله انتگرالی در فواصل  $a \leq y \leq b$ ،  $c \leq x \leq d$  تعریف شده است. تابع  $g(y)$  مجهول بوده و می‌باید تعیین شود. ابتداء فاصله  $[a, b]$  برای متغیر  $y$  را به  $N$  قسمت با پهنای  $\delta = (b-a)/N$  تقسیم می‌کنیم. مرکز هر قسمت در نقطه  $y_n = a + (2n-1)\delta/2$  با  $n=1, 2, \dots, N$  قرار دارد. تابع پله در نقطه  $y = y_n - \delta/2$  را بصورت  $U(y - y_n + \delta/2)$  و در نقطه  $y = y_n + \delta/2$  را بصورت  $U(y - y_n - \delta/2)$  تعریف می‌کنیم. سپس تابع پالس با مرکزش در نقطه  $y_n$  را مطابق شکل ۱ بصورت مجموع دو تابع پله نمایش می‌دهیم.

$$\begin{aligned} P_n &= P(y - y_n) \\ &= U(y - y_n + \delta/2) - U(y - y_n - \delta/2) \end{aligned}$$

بنابراین، تابع  $g(y)$  را توسط یک رشته توابع پالس تقریب

$$g_m = \int_c^d dx f(x) \left[ \int_a^b y'^m K^*(x, y') dy' \right] \quad (57)$$

در روش کمترین مربعات، همانند روش ممان و روشهای عددی دیگر بعضی مسائل همگرایی پدید می‌آید که باید توسط کاربرد تکنیکهای خاص حل شود.

حل معادلات "هالن" و "پاکلینتون" برای انواع مختلف آنتهای سیمی (مانند دوقطبی، دوقطبی تاشده و یاگی‌یودا) توسط روش کمترین مربعات حل شده است [۷۹-۸۴]

## ۷- حل مسائل الکتریسته ساکن [۳۰-۳۲]

مسائل الکتریسته ساکن تحت یک معادله دیفرانسیل همگن همراه با شرایط مرزی را می‌توان توسط روش باقیمانده مرزی کمترین مربعات (LSBRM) حل کرد [۳۱]. درون یک حوزه مکانی محاط در سطح  $S = S_1 + S_2$  را در نظر بگیرید.

فرض کنید که معادله حاکم بر تابع

$$L[\Phi(\bar{r})] = 0 \quad (58)$$

تحت شرایط مرزی "دیریکله" روی سطح  $S_1$  با بردار مکانی

$$\bar{r}_1 \quad \Phi(\bar{r}_1) = \Phi_1(\bar{r}_1) \quad \text{روی } S_1 \text{ با } \bar{r}_1 \quad (59)$$

و شرط مرزی "نویمن" روی سطح  $S_2$  با بردار مکانی  $\bar{r}_2$

$$\frac{\partial \Phi(\bar{r}_2)}{\partial n} = \Phi_2(\bar{r}_2) \quad \text{روی } S_2 \text{ با } \bar{r}_2 \quad (60)$$

باشد. (n متغیر عمود بر سطح است.) فرض کنید تابع  $\Phi$  را بتوان بطور تقریبی بصورت یک مجموعه محدود توابع پایه  $\varphi_n(\bar{r})$  (برای  $n=1,2,\dots,N$ ) که در معادله (۵۸) صدق می‌کند، نوشت.

$$\Phi(\bar{r}) = \sum_{n=1}^N a_n \varphi_n(\bar{r}) \quad (61)$$

تابع خطائی را از لازمه اقناع شرایط مرزی بصورت زیر می‌سازیم:

فاصله  $[a,b]$  به  $(N+1)$  قسمت با پهنای  $\delta = (b-a)/(N+1)$  تقسیم شده است. تابع مثلثی حول نقطه با  $n=1,2,\dots,N$  بصورت زیر تعریف می‌شود:

$$T_n = T(y, y_n) = \begin{cases} 1 - \frac{1}{\delta} |y - y_n| & |y - y_n| \leq \delta \\ 0 & |y - y_n| \geq \delta \end{cases} \quad (52)$$

انجام عملیات معمول جایگزینی معادله (۵۱) در معادله (۴۵)، انتقال  $f(x)$  به طرف چپ معادله، ضرب معادله حاصل در مزدوجش، انتگرال‌گیری نسبت به  $x$  در فاصله مطلوب  $[a,b]$  مشتق‌گیری نسبت به مزدوج دامنه توابع مثلثی  $(C_n^*)$  و برابر صفر قرار دادنش، منجر به معادله خطی (۳۲) با کمیات زیر می‌شود:

$$I_{mn} = \int_c^d dx \left[ \int_{y_n-\delta}^{y_n+\delta} K(x, y) T(y, y_n) dy \int_{y_m-\delta}^{y_m+\delta} K^*(x, y') T(y', y_m) dy' \right] \quad (53)$$

$$g_m = \int_c^d dx f(x) \left[ \int_{y_m-\delta}^{y_m+\delta} K^*(x, y) T(y, y_m) dy \right] \quad (54)$$

ممکن است که انتگرالهای سابق‌الذکر بطور تحلیلی قابل محاسبه نباشد. در این صورت لازم است که از روشهای مختلف انتگرال‌گیری عددی استفاده کرد [۴-۷]. معمولاً محاسبه عنصر (درآیه) ماتریسهای سابق‌الذکر بیشترین زمان کامپیوتر را اشغال می‌کند. بنابراین، لازم است که از خواص ماتریسی هر میتی استفاده کرد و تنها تقریباً نیمی از عناصرش را محاسبه کرد و روش "چولسکی" را برای معکوس کردنش به کار برد.

تابع پایه تمام حوزه بصورت معادله چند جمله‌ای را نیز می‌توان به کار برد.

$$g(y) = \sum_{n=0}^N C_n y^n \quad (55)$$

در این حالت داریم

$$I_{mn} = \int_c^d dx \left[ \int_a^b y^n K(x, y) dy \right] \left[ \int_a^b y'^m K^*(x, y') dy' \right] \quad (56)$$



داخل موجبر را می‌توان بصورت یک مجموعه بی‌نهایت مودهای TM و TE نوشت. تحریک از طریق موجبر ورودی توسط یک یا چند مود منتشر شونده انجام می‌گیرد. کلیه مودهای منتشر شونده و میرای رونده در جهت  $z$  در موجبر خروجی و رونده در جهت  $-z$  در موجبر ورودی ایجاد می‌شود. این مودها باید کلیه شرایط مرزی را روی دیواره جانبی موجبرهای استوانه‌ای یکنواخت (۱) و (۲) اقلان کند. بنابراین، میدانهای الکتریکی و مغناطیسی عرضی در سطح پیوندگاه به ترتیب در دو طرفش در موجبر ورودی با  $z = 0^-$  و در موجبر خروجی با  $z = 0^+$  را می‌توان بر حسب توابع مودی TE و TM بصورت زیر نوشت:

$$\begin{aligned}\bar{E}_U &= \sum_{mn} (A_{mn}^+ + A_{mn}^-) \bar{e}_{1,mn}^e + \sum_{mn} (B_{mn}^+ - B_{mn}^-) \bar{e}_{1,mn}^m \\ \bar{H}_U &= \sum_{mn} (A_{mn}^+ - A_{mn}^-) \bar{h}_{1,mn}^e + \sum_{mn} (B_{mn}^+ + B_{mn}^-) \bar{h}_{1,mn}^m \quad z=0^- \\ \bar{E}_L &= \sum_{pq} C_{pq} \bar{e}_{2,pq}^e + \sum_{pq} D_{pq} \bar{e}_{2,pq}^m \\ \bar{H}_L &= \sum_{pq} C_{pq} \bar{h}_{2,pq}^e + \sum_{pq} D_{pq} \bar{h}_{2,pq}^m \quad z=0^+\end{aligned}\quad (65)$$

در اینجا تابع مودهای الکتریکی و مغناطیسی به ترتیب با  $\bar{e}^e$  و  $\bar{e}^m$ ، زیرنویسهای ۱ و ۲ به ترتیب برای موجبرهای ورودی و خروجی، دامنه مودها با A, B, C, D و دامنه مودهای پیشرونده و پسرونده به ترتیب با رونیوسهای + و - نشان داده شده‌اند.

شرایط مرزی در سطح پیوندگاه عبارتند از: ناپیوستگی مؤلفه مماسی میدان  $\bar{H}$  به اندازه چگالی جریان الکتریکی سطحی اعمالی  $\bar{J}_s$ ، در روزنه، ناپیوستگی مؤلفه مماسی میدان  $\bar{E}$  به اندازه چگالی جریان مغناطیسی سطحی اعمالی  $\bar{M}_s$  در روزنه (که احیاناً در مسئله فرض شده است) و صفر شدن مؤلفه مماسی میدان  $\bar{E}$  روی سطح غشاء فلزی در پیوندگاه به طرف موجبرهای ورودی و خروجی. (شرایط مرزی روی مؤلفه عمودی میدانها تابع شرایط مرزی روی مؤلفه مماسی

$$\begin{aligned}\varepsilon &= \int_{S_1} |\Phi_1(\bar{r}_1) - \Phi(\bar{r}_1)|^2 ds_1 \\ &+ \alpha \int_{S_2} \left| \Phi_2(\bar{r}_2) - \frac{\partial \Phi(\bar{r}_2)}{\partial n} \right|^2 ds_2\end{aligned}\quad (62)$$

در اینجا  $\alpha$  یک ضریب وزنی است که اندازه نسبی ارضاء شرط مرزی نویمن را نسبت به شرط مرزی دیریکله مشخص می‌کند. بسط تابع  $\Phi$  در معادله (۶۱) را در معادله (۶۲) جایگزین می‌کنیم و مشتق  $\varepsilon$  را نسبت به  $a_m$  می‌گیریم و برابر صفر قرار می‌دهیم. معادله حاصل را بصورت معادله (۳۵) می‌نویسیم:

$$\begin{aligned}l_{mn} &= \int_{S_1} \phi_m(\bar{r}_1) \phi_n(\bar{r}_1) ds_1 + \alpha \int_{S_2} \frac{\partial \phi_m(\bar{r}_2)}{\partial n} \frac{\partial \phi_n(\bar{r}_2)}{\partial n} ds_2 \\ g_m &= \int_{S_1} \Phi_1(\bar{r}_1) \phi_m(\bar{r}_1) ds_1 + \alpha \int_{S_2} \Phi_2(\bar{r}_2) \frac{\partial \phi_m(\bar{r}_2)}{\partial n} ds_2\end{aligned}\quad (63)$$

در مرجع [۳۱]، این روش برای حل مسائل الکتریسته ساکن و محاسبه جریانهای "ادی" (چرخه‌ای) به کار رفته است.

## ۸- روش باقیمانده مرزی کمترین مربعات [۳۳-۵۴]

مسئله مقادیر مرزی شامل حل یک معادله دیفرانسیل تحت شرایط مرزی بکرات در مهندسی الکترومغناطیس پدید می‌آید و قابل تحلیل توسط روش باقیمانده مرزی کمترین مربعات می‌باشد. حل مسئله الکتریسته ساکن در بخش قبل از این موارد است. مسئله دیگر تحلیل پیوندگاه موجبرهای استوانه‌ای است. پیوندگاه دو موجبر با سطح مقطع اختیاری یکنواخت هم راستا را مطابق شکل ۳ در نظر بگیرید که شامل غشاء فلزی و روزنه‌هایی است. موجبر خروجی تطبیق شده است. میدان الکترومغناطیسی

حداقل اندازه تابع خطا از جایگزینی  $\bar{V}_{mn}$  در معادله (۶۷) تعیین می‌شود.

$$\varepsilon = \langle \bar{f}^*, \bar{f} \rangle - \langle \bar{f}^*, L \rangle \bar{V}_{mn} \quad (69)$$

$$= \langle \bar{f}^*, \bar{f} \rangle - \langle \bar{f}^*, L \rangle \langle L^*, L \rangle^{-1} \langle L^*, \bar{f} \rangle$$

برای موجرها با سطح مقطع‌های مختلف (مانند صفحات موازی، مستطیلی، دایره‌ای، بیضوی و غیره) تابع مودها را بر حسب تابع امواج نوشته و درآیه کارگردانه‌های سابق‌الذکر را محاسبه می‌کنیم. برای بعضی از روزه‌ها با شکل هندسی ساده، انتگرالها را می‌توان بطور تحلیلی محاسبه کرد ولی برای اشکال هندسی پیچیده‌تر روزه‌ها، انتگرالگیریها را باید به روش عددی انجام داد. پس از تعیین دامنه مودهای تحریک شده، سیستماتس معادل پیوندگاه به دست می‌آید. شایان ذکر است که اندازه ضریب وزنی  $\alpha$  تاثیر زیادی بر اندازه دامنه مودهای محاسبه شده دارد و روشهای مناسبی مانند اصل بقاء توان، اصل بقاء واکنش و عدد وضعیت ماتریس باید برای تعیین محدوده اندازه بهینه  $\alpha$  به کار رود [۳۴-۴۴].

## ۹- طراحی مبدل‌های امپدانس [۵۵-۶۲]

طراحی مبدل‌های امپدانس باریک شونده و خطوط پله‌ای برای تطبیق دو امپدانس در یک باند فرکانسی را می‌توان توسط روش عددی کمترین مربعات فرمولبندی و اجرا کرد. یک خط انتقال باریک شونده با طول  $L$  دارای امپدانس مشخصه  $Z(z)$  بصورت تابع فاصله  $z$  از منبع را مطابق شکل ۴ در نظر بگیرید که یک منبع ولتاژ با امپدانس داخلی  $Z_g$  را به یک امپدانس بار  $Z_L$  وصل می‌کند. فرض کنید که امپدانس مشخصه خط ورودی برابر امپدانس داخلی منبع ( $Z_c = Z_g$ ) بوده و در باند فرکانس مطلوب مقاومتی و ثابت باشد. کلیه امپدانسها نسبت به امپدانس مشخصه خط ورودی بهنجار شده‌اند.

$$\bar{Z}_c = 1, \quad \bar{Z}(z) = \frac{Z(z)}{Z_c}, \quad \bar{Z}_L = \frac{Z_L}{Z_c} \quad (70)$$

فرض می‌کنیم که نظریه انعکاسات کوچک حاکم باشد و

میدانها است و به تبع آن ارضاء می‌شود. شرایط مرزی روی مولفه مماسی میدانها را بصورت برداری شامل چهار درآیه می‌نویسیم.

$$\bar{u} = \left\{ \begin{aligned} & \sqrt{\alpha} [\hat{u}_z \times (\bar{H}_{2t} - \bar{H}_{1t}) - \bar{J}_S], \hat{u}_z \times (\bar{E}_{2t} - \bar{E}_{1t}) + \bar{M}_S \\ & \hat{u}_z \times \bar{E}_{1t}, \hat{u}_z \times \bar{E}_{2t} \end{aligned} \right\}$$

$$= L \bar{V} - \bar{f} \quad (66)$$

در اینجا  $\bar{V}$  بردار دامنه مودهای تحریک شده مجهول  $D_{pq}$  و  $C_{pq}$ ,  $B_{mn}^-$ ,  $A_{mn}^-$  مودهای تابشی  $B_m^+$ ,  $A_m^+$  و جریانهای سطحی الکتریکی  $\bar{J}_s$  و مغناطیسی  $\bar{M}_s$  در سطح پیوندگاه و  $L$  ماتریسی با درآیه‌هایی بر حسب توابع مودی است. ضریب وزنی  $\alpha$  برای هم ارز کردن اندازه شرایط مرزی الکتریکی و مغناطیسی اضافه شده است.

حال، تابع خطای  $\varepsilon$  را به صورت انتگرال سطحی (روی سطح مرزی پیوندگاه (b.s.) حاصلضرب داخلی بردار  $\bar{u}$  در مزدوج ترانهاداش  $\bar{u}^*$  (در نواحی که هر درآیه بردار شرایط مرزی صادق است) تعریف می‌کنیم.

$$\varepsilon = \langle \bar{u}^*, \bar{u} \rangle = \int_{b.s.} \bar{u}^* \cdot \bar{u} ds \quad (67)$$

$$= \bar{V}^* \langle L^*, L \rangle \bar{V} - \bar{V}^* \langle L^*, \bar{f} \rangle - \langle \bar{f}^*, L \rangle \bar{V} + \langle \bar{f}^*, \bar{f} \rangle$$

کارگردان  $\langle L^*, L \rangle$  بصورت ضرب ماتریسی  $L^*$  (مزدوج ترانهاد  $L$ ) در  $L$  تعریف می‌شود، بطوری که هر ضرب در واقع ضرب داخلی یک بردار در مزدوج بردار دیگری است که روی سطح مربوطه پیوندگاه انتگرال گرفته می‌شود. کارگردانه‌های دیگر در معادله (۶۷) نیز به همین ترتیب تعریف می‌شود.

برای تعیین نقطه حداقل تابع خطا، مشتق‌اش را نسبت به مزدوج هر یک از دامنه مودها  $V_i^*$  گرفته و برابر صفر قرار می‌دهیم. در نتیجه، بردار دامنه مودها در نقطه حداقل تابع خطا به دست می‌آید.

$$\bar{V}_{mn} = \langle L^*, L \rangle^{-1} \langle L^*, \bar{f} \rangle \quad (68)$$

$l_{nk}$  در مرجع [۹] داده شده‌اند. سپس تابع خطائی را می‌سازیم:

$$\varepsilon = \sum_{k=1}^K \Gamma_{ik} \Gamma_{ik}^* = \sum_{k=1}^K \left( t_k + \sum_{n=1}^N l_{nk} a_n \right) \left( t_k^* + \sum_{n=1}^N l_{nk}^* a_n \right) \quad (76)$$

برای کمینه‌سازی تابع خطا، مشتقات  $\varepsilon$  نسبت به  $a_n$  را برابر صفر قرار می‌دهیم. در نتیجه،

$$[a_n] = \left[ \operatorname{Re} \sum_{k=1}^K l_{nk} l_{mk}^* \right]^{-1} \left[ -\operatorname{Re} \sum_{k=1}^K l_{mk}^* t_k \right] \quad (77)$$

بنابراین، تعیین ضرایب چند جمله‌ای صرفاً منجر به معکوس کردن یک ماتریس می‌شود.

برای بهینه‌سازی طول مبدل، مشتق  $\varepsilon$  را نسبت به  $L$  می‌گیریم. و از یک الگوریتم بهینه‌سازی مانند "پارتان" PARTAN [۲] برای کمینه‌سازی اندازه  $\varepsilon$  نسبت به  $L$  استفاده می‌کنیم. بالاخره، شکل مبدل توسط معادله (۷۴) تعیین می‌شود. کاربرد توابع پایه دیگر برای طراحی مبدل امپدانس باریک شونده و پله‌ای به تفصیل در مرجع [۵۹] شرح داده شده است.

طریقه دیگر طراحی یک مبدل خط پله‌ای با یک طول مشخص برای تطبیق دو امپدانس مختلط در یک پهنای باند فرکانسی معین توسط روش عددی کمترین مربعات امکان دارد. یک خط انتقال پله‌ای  $N$  قسمتی را در نظر بگیرید که مطابق شکل ۵ یک منبع ولتاژ  $V_g$  با امپدانس داخلی  $Z_g$  را به یک امپدانس بار  $Z_L$  وصل کند. امپدانس مشخصه پله  $i$ ام را حقیقی و مستقل از فرکانس فرض کرده و بصورت  $Z_{o,i}$  نمایش می‌دهیم. ثابت انتشار در فرکانس  $k$ ام بصورت  $\gamma_k = \alpha + j\beta_k$  بوده که در آن ضریب تضعیف  $\alpha$  ثابت و مستقل از فرکانس فرض شده است. طول پله  $i$ ام برابر  $l_i$  است و فرض می‌کنیم که طول کلیه پله‌ها یکسان  $\left( l = \frac{L}{N} \right)$  باشد. زیرنویس  $k$  فرکانس را در باند مورد نظر مشخص می‌کند. ماتریس انتقال  $i$  امین پله با ادیتانس

بتوان ضریب انعکاس در ورودی خط باریک شونده را بصورت زیر نوشت [۱۳]:

$$\Gamma_i = \frac{1}{2} \int_0^L e^{-j2\beta z} \frac{d}{dz} \ln \bar{Z}(z) dz$$

$$= \frac{1}{2} e^{-j2\beta L} \ln \bar{Z}(L) + j\beta \int_0^L e^{-j2\beta z} \ln \bar{Z}(z) dz \quad (71)$$

عبارت اخیر توسط انتگرال‌گیری جزء به جزء به دست می‌آید. شرایط مرزی در دو انتهای خط عبارتند از:

$$\begin{aligned} \bar{Z}(z=0) &= \bar{Z}_c = l, & z &= 0 \\ \bar{Z}(z=L) &= \bar{Z}_L, & z &= L \end{aligned} \quad (72)$$

حال، توابع  $\ln \bar{Z}(z)$ ،  $\bar{Z}(z)$  و  $\frac{d}{dz} \ln \bar{Z}(z)$  را بصورت یک چند جمله‌ای، توابع پالسی (یا تقریب پله‌ای)، توابع مثلثی (یا تقریب خطی تکه‌وار) و یک کارگردان تقریبی بسط می‌دهیم [۸] و [۵۹].

به عنوان مثال، تابع  $\frac{d}{dz} \ln \bar{Z}(z)$  را توسط یک چند جمله‌ای درجه  $N$  تقریب می‌زنیم.

$$\frac{d}{dz} \ln \bar{Z}(z) = \sum_{n=0}^N a_n z^n \quad (73)$$

$$\bar{Z}(z) = \exp \left[ \sum_{n=0}^N \frac{1}{n+1} a_n z^{n+1} + C \right] \quad (74)$$

در اینجا  $C$  یک ثابت است. با اعمال شرایط مرزی (۷۲)، اندازه  $C=0$  است و  $a_0$  بر حسب ضرایب دیگر چند جمله‌ای  $(a_n)$  به دست می‌آید. حال،  $a_0$  را در معادله (۷۴) جایگزین می‌کنیم. عبارت حاصل برای  $\bar{Z}(z)$  را در معادله (۷۱) قرار می‌دهیم و پس از انتگرال‌گیری، رابطه‌ای برای ضریب انعکاس ورودی به دست می‌آید [۵۹].

$$\Gamma_{ik} = t_k + \sum_{n=1}^N l_{nk} a_n \quad (75)$$

معمولاً یک تطبیق امپدانس در یک باند فرکانس مورد نیاز است، که به تعداد  $K$  فرکانس منفرد تقسیم می‌شود. زیرنویس  $k$  نمایش‌دهنده  $k$  امین فرکانس است. عبارات برای  $t_k$  و



مشتق  $\partial Z_{in,k} / \partial Z_{o,j}$  با استفاده از معادلات (۷۸) تا (۸۰) به دست می‌آید [۵۶-۵۷ و ۶۰-۶۲]

## ۱۰- طراحی بهینه پیونده جهتی چند سوراخه [۶۳-۶۹]

پیونده جهتی چند سوراخه متشکل از دو موجبر مستطیلی با یک دیواره (پهن یا باریک) مشترک شامل تعداد  $(N+1)$  روزنه مطابق شکل ۶ می‌باشد. فاصله ردیف سوراخها از لبه موجبر  $s$  و فاصله بین دو روزنه مجاور  $d_i$  است. شعاع روزنه  $i$  ام را برابر  $r_i$  فرض می‌کنیم. توان تابش در دهانه ورودی ۱ برابر  $P_{in}$ ، توان منتقله در دهانه مستقیم ۲ برابر  $P_f$ ، توان پیشرو در دهانه پیونیده ۳ برابر  $P_f$  و توان پسرو در دهانه مجزای ۴ برابر  $P_b$  است. ضریب پیوند  $C$ ، ستمگرانی  $D$  و جدائی  $I$  برای پیونده جهتی بصورت زیر تعریف می‌شود:

$$\begin{aligned} C &= 10 \log_{10} (P_{in} / P_f) \\ D &= 10 \log_{10} (P_f / P_b) \\ I &= 10 \log_{10} (P_{in} / P_b) = C + D \end{aligned} \quad (۸۳)$$

دامنه میدانهای پیشرونده و پسرونده از طریق  $n$  امین سوراخ از موجبر ورودی به موجبر خروجی در فرکانس  $k$  ام در باند مطلوب  $(f_k)$  به ترتیب عبارتند از:

$$\begin{aligned} F_{nk} &= K_{nk} r_n^3 = K_{nk} a_n \\ B_{nk} &= L_{nk} b_{nk} \end{aligned} \quad (۸۴)$$

$$b_{nk} = a_n \exp \left( -j2\beta_k \sum_{i=1}^n d_i \right)$$

ضرایب پیوند امواج پیشرونده  $(K_{nk} = A_{10}^+ / A)$  و پسرونده  $(L_{nk} = A_{10}^- / A)$  که از طریق  $n$  امین سوراخ در دیواره پهن (یا دیواره باریک) موجبر مستطیلی نشأت می‌کند، در مراجع [۱۳ و ۱۵] ارائه شده است.  $A$  دامنه میدان تابش بر دهانه ورودی است و برای سادگی برابر یک ( $A=1$ ) فرض شده است. میدانهای کل پیونیده پیشرونده و پسرونده به ترتیب عبارتند از:

مشخصه  $Y_{o,i}$  عبارتست از:

$$P_{l,k} = \begin{bmatrix} \cosh \gamma_k l_i & Z_{o,i} \sinh \gamma_k l_i \\ Y_{o,i} \cosh \gamma_k l_i & \cosh \gamma_k l_i \end{bmatrix} \quad (۷۸)$$

ماتریس انتقال کل خط پله‌ای عبارتست از:

$$T_k = \begin{bmatrix} A_k & B_k \\ C_k & D_k \end{bmatrix} = \prod_{i=1}^N P_{lk} = P_{1,k} P_{2,k} P_{3,k} \dots P_{N,k} \quad (۷۹)$$

ولتاژ و جریان ورودی  $(V_g, I_g)$  را می‌توان بر حسب ولتاژ و جریان بار  $(V_L, I_L)$  توسط ماتریس انتقال کل خط  $T_k$  بیان کرد. بنابراین، امپدانس ورودی خط پله‌ای  $(Z_{in,k})$  مختوم به امپدانس بار  $Z_{L,k} = \frac{V_L}{I_L}$  را می‌توان برحسب پارامترهای ماتریس انتقال خط نوشت:

$$Z_{in,k} = \frac{V_g}{I_g} = \frac{A_k Z_{L,k} + B_k}{C_k Z_{L,k} + D_k} \quad (۸۰)$$

دو حالت را می‌توان برای ایجاد شرایط تطبیق تصور کرد. اولاً، طراحی یک خط پله‌ای بی انعکاس ( $\Gamma_{in} = 0$ ) مستلزم  $Z_{in,k} = Z_{g,k}$  است. ثانیاً، طراحی یک خط پله‌ای برای حداکثر انتقال توان مستلزم تطبیق مزدوج  $Z_{in,k} = Z_{g,k}^*$  است. حال، تابع خطائی را برای حالت تطبیق بی انعکاس می‌سازیم.

$$\varepsilon = \sum_{k=1}^K (Z_{in,k} - Z_{g,k}) (Z_{in,k}^* - Z_{g,k}^*) \quad (۸۱)$$

پهنای باند مشخص شده به  $K$  فرکانس منفرد تقسیم شده است. برای کمینه‌سازی انعکاسات در پایانه‌های ورودی خط پله‌ای باید نقطه حداقل تابع خطا را که تابع امپدانس مشخصه و طول خط پله‌ای است، به دست آوریم. بنابراین، بهینه‌سازی  $\varepsilon$  را متناوباً نسبت به امپدانسهای مشخصه  $Z_{o,j}$  و طول خط پله‌ای  $l_j$  انجام می‌دهیم. بدین منظور مشتق  $\varepsilon$  را نسبت به  $Z_{o,j}$  و  $l_j$  لازم داریم. برای مثال،

$$\frac{\partial \varepsilon}{\partial Z_{o,j}} = 2 \operatorname{Re} \sum_{k=1}^K \left[ \frac{\partial Z_{in,k}}{\partial Z_{o,j}} (Z_{in,k}^* - Z_{g,k}^*) \right] \quad (۸۲)$$

می‌گیرد [۶۳].

چند الگوریتم برای طراحی پیونده خط پیونیده، خط شاخه‌ای و پیونده حلقوی نیز از طریق روش کمترین مربعات تدوین شده است و خواننده علاقمند به مراجع ارجاع داده می‌شود [۶۷-۶۹].

## ۱۱- سنتز پرتو آنتن [۷۰-۱۰۳]

روش عددی کمترین مربعات را می‌توان به طرق مختلف برای سنتز پرتو آنتن همراه با قیدهایی به کار برد. رابطه کلی بین منبع  $f$  یک سیستم تشعشع‌کننده و میدان  $g$  را که روی کره تشعشع ایجاد می‌کند، می‌توان بطور نمادی بصورت زیر نوشت [۹۸]:

$$Tf = g \quad (۸۸)$$

در اینجا  $T$  یک کارگردان خطی است. منبع را بصورت یک مجموعه توابع پایه  $e_n$  بسط می‌دهیم.

$$f = \sum_{n=1}^N f_n e_n \quad (۸۹)$$

در اینجا  $f_n$  ثابت‌هایی هستند که بصورت یک بردار با مولفه‌های  $f_n$  نوشته می‌شود.

$$f = [f_n] \quad (۹۰)$$

برای مثال، اگر منبع آرایه‌ای از دو قطبها باشد،  $f_n$  می‌تواند جریان یا ولتاژ دهانه‌های ورودی‌اش باشد. معادله (۸۹) را در معادله (۸۸) قرار می‌دهیم و معادله را در تعداد  $M$  نقطه  $(\theta_m, \phi_m)$  برای  $m=1, 2, 3, \dots, M$  روی کره تشعشع محاسبه می‌کنیم. نتیجه را می‌توان بصورت معادله ماتریسی زیر بنویسیم:

$$[T]f = g \quad (۹۱)$$

در اینجا  $g$  بعنوان بردار و  $[T]$  بعنوان ماتریس زیر تعریف می‌شود:

$$g = [g_m] \\ [T] = [(Te_n)_m] \quad (۹۲)$$

$g_m$  اندازه  $g$  را در نقطه  $(\theta_m, \phi_m)$  و  $(Te_n)_m$  پرتو را در

$$F_k = A \exp \left( -j\beta_k \sum_{i=1}^N d_i \right) \sum_{n=0}^N K_{nk} a_n \quad (۸۵)$$

$$B_k = A \sum_{n=0}^N L_{nk} b_{nk}$$

در اینجا فاصله بین مراکز  $(i-1)$  امین و  $i$  امین سوراخ برابر  $d_i$  است.

بر طبق تعاریف  $C$ ،  $D$  و  $I$  در معادلات (۸۳) داریم:

$$C = -10 \log_{10} \left| \frac{F}{A} \right|^2 \Rightarrow \left| \frac{F}{A} \right| = 10^{-(C/20)} = C_1 \\ I = -10 \log_{10} \left| \frac{B}{A} \right|^2 \Rightarrow \left| \frac{B}{A} \right| = 10^{-(I/10)} = I_1 \quad (۸۶) \\ D = -10 \log_{10} \left| \frac{B}{F} \right|^2 \Rightarrow \left| \frac{B}{F} \right| = 10^{-(D/10)} = D_1$$

حال، می‌خواهیم یک پیونده جهتی چند روزه‌ای با تعداد  $(N+1)$  سوراخ، ضریب پیوند  $(C)$  و ستمگرایی  $(D)$  (یا بطور معادل ضریب جدائی  $I=I_1$ ) در باند فرکانسی از  $f_1$  تا  $f_n$  طراحی کنیم. باند فرکانسی مطلوب را به  $K$  فرکانس تقسیم می‌کنیم. در روش حاضر، شعاع سوراخها  $(r_i)$  و فاصله‌گذاری‌شان  $(s_i, d_i)$  با فرض مقادیر اولیه (اگر در نمونه الگوریتم لازم باشد) تعیین می‌شود. بنابراین، تابع خطاهای زیر را می‌سازیم.

$$\varepsilon_1 = \alpha \sum_{k=1}^K [-I + |B_k|^2]^2 + \sum_{k=1}^K [-C_1 + |F_k|^2]^2 \\ \varepsilon_2 = \alpha \sum_k |B_k|^2 + \sum_k [-C_1 + |F_k|^2]^2 \quad (۸۷) \\ \varepsilon_3 = \alpha \sum_k \left[ -D_1 + \left| \frac{B_k}{F_k} \right|^2 \right]^2 + \sum_k [-C_1 + |F_k|^2]^2$$

در اینجا  $\alpha$  یک ضریب وزنی است. الگوریتم بر مبنای تابع خطای  $\varepsilon_1$ ، پیونده‌ای با مشخص کردن ضریب پیوند  $C$  و ضریب جدائی  $I$  طراحی می‌کند. الگوریتم  $\varepsilon_2$ ، پیونده‌ای با مشخص کردن ضریب پیوند  $C$  و کمینه‌سازی توان خروجی از دهانه مجزا طراحی می‌کند. الگوریتم  $\varepsilon_3$ ، پیونده‌ای با مشخص کردن ضریب پیوند و ضریب ستمگرایی طراحی می‌کند. طراحی توسط کاربرد یک الگوریتم بهینه‌سازی انجام

می‌کنیم. اولین عدد شایستگی، خطای سنتز بهنجار شده است.

$$E = \frac{\|g - g_0\|^2}{\|g_0\|^2} = \frac{\sum_{m=1}^M W_m |g_m g_{om}|^2}{\sum_{m=1}^M W_m |g_{om}|^2} \quad (100)$$

در اینجا  $g$  پرتو سنتز شده و  $g_0$  پرتو مطلوب است. دومین عدد شایستگی، ضریب کیفیت است.

$$Q = M \frac{\|f\|^2}{\|g\|^2} = M \frac{\sum_{n=1}^N V_n |f_n|^2}{\sum_{m=1}^M W_m |g_m|^2} \quad (101)$$

در اینجا  $M$  باعث می‌شود که  $Q$  نسبتاً غیرحساس به تعداد نقاط میدان باشد. معمولترین روش سنتز شامل مشخص کردن هم دامنه و هم فاز پرتو میدان است. در روش حاضر، دامنه و فاز  $g_0$  در تعداد  $M$  نقطه روی کره تشعشع مشخص می‌شود. بنابراین، نقطه شروع معادله (۹۳) با  $g_0$  معلوم است. کمینه‌سازی تابع خطا  $\varepsilon = \|[T]f - g_0\|^2$  منجر به جواب زیر می‌شود:

$$f = [\tilde{T}^* W T]^{-1} [\tilde{T}^* W] g_0 \quad (102)$$

برای مثال، معادلات را به منابع نقطه‌ای با توزیع اختیاری در یک صفحه و به پرتوهای تشعشعی در همین صفحه تخصیص می‌دهیم. منابع نقطه‌ای در موقعیتهای  $(x_n, y_n)$  با تحریک‌های  $f_n$  قرار دارد. پرتو تشعشعی در زاویه  $\phi$  عبارتست از:

$$Tf = \sum_{n=1}^N f_n e^{jk(x_n \cos \phi + y_n \sin \phi)} \quad (103)$$

در اینجا  $k = 2\pi/\lambda$  عدد موج است. با انتخاب پرتو مطلوب  $g_n(\phi)$  و محاسبه  $Tf \approx g_0$  در تعداد  $M$  نقطه  $\phi_m$ ، معادله  $[T]f \approx g_0$  را تشکیل می‌دهیم. در اینجا بردار ستونی مولفه‌های  $f_n$ ،  $f_n$  بردار ستونی  $g_0(\phi_m)$  و  $[T]$  ماتریس با درآیه‌های زیر است:

$$T_{mn} = e^{jk(x_n \cos \phi_m + y_n \sin \phi_m)} \quad (104)$$

نقطه  $(\theta_m, \phi_m)$  نمایش می‌دهیم. حال، مسئله سنتز را می‌توان بصورت زیر بیان کرد:

$$[T]f \approx g_0 \quad (93)$$

که در آن  $g_0$  بردار پرتو مشخص شده است. این معادله خطی را می‌توان توسط روش عددی کمترین مربعات سابق‌الذکر حل کرد.

در هر حال، در فضاهای اقلیدسی، ضرب داخلی زیر را تعریف می‌کنیم.

$$\langle f_i^*, f_j \rangle = \tilde{f}_i^* [V] f_j \quad (94)$$

در اینجا  $\sim$  ترانهاده و  $*$  مزدوج مختلط را نمایش می‌دهد و  $[V]$  ماتریس وزنی بوده که مثبت معین است و در اینجا آن را یک ماتریس قطری فرض می‌کنیم.

$$[V] = [\text{diag} V_n] \quad (95)$$

کلیه  $V_n > 0$  است. در فضای منبع، "نرم" ناشی از ضرب داخلی برابر است با

$$\|f\| = \langle f^*, f \rangle^{1/2} = \left( \sum_{n=1}^N V_n |f_n|^2 \right)^{1/2} \quad (96)$$

در اینجا  $f_n$  مولفه‌های  $f$  هستند. "متریک" ناشی از "نرم" برابر  $d(f_i, f_j) = \|f_i - f_j\|$  است. برای کمیات میدانی، ضرب داخلی را تعریف می‌کنیم.

$$\langle g_i, g_j \rangle = \tilde{g}_i^* [W] g_j \quad (97)$$

در اینجا  $[W]$  یک ماتریس وزنی است، که باید مثبت معین باشد و در اینجا آن را قطری فرض می‌کنیم.

$$[W] = [\text{diag} W_m] \quad (98)$$

کلیه  $W_m > 0$  است. در فضای میدانی، نرم از ضرب داخلی ناشی می‌شود:

$$\|g\| = \langle g^*, g \rangle^{1/2} = \left( \sum_{m=1}^M W_m |g_m|^2 \right)^{1/2} \quad (99)$$

در اینجا  $g_m$  مولفه‌های بردار  $g$  است. "متریک" ناشی از "نرم" برابر  $d(g_i, g_j) = \|g_i - g_j\|$  است. برای مقایسه روشهای مختلف سنتز پرتو، دو عدد شایستگی را تعریف



زیر است [۸۶]:

- ۱- مقادیر اولیه‌ای را برای  $\beta_1, \beta_2, \dots, \beta_m$  فرض کنید.
  - ۲- اندازه‌های  $\beta_m$  را ثابت قرار دهید و مقادیر  $f_n$  که  $\varepsilon$  را کمینه می‌سازد، با استفاده از معادله (۱۰۲) محاسبه کنید.
  - ۳- مقادیر  $f_n$  را ثابت قرار دهید و اندازه‌های  $\beta_m$  که  $\varepsilon$  را کمینه می‌سازد، با استفاده از معادله (۱۰۸) محاسبه کنید.
  - ۴- به گام ۲ باز گردید.
- بعضی مثالها در مرجع [۸۶] همراه با بحث مفصل‌تری ارائه شده است.
- روش عددی کمترین مربعات برای مسائل پراکندگی نیز به کار رفته است [۹۱-۹۸]. مسائل دیگری نیز با این روش تحلیل شده است [۹۹-۱۰۱].

## ۱۲- نتیجه

در این مقاله روش عددی کمترین مربعات (MLS) برای تحلیل و طراحی بعضی از مسائل ریاضی و مهندسی علی‌الخصوص مسائل مهندسی الکترومغناطیس ارائه شد. ابتداء، روشهای کلاسیک تعیین ضرایب فوری و پرازش یک منحنی به داده‌های اندازه‌گیری بر مبنای کمینه‌سازی یک تابع خطای کمترین مربعات به عنوان مقدمه بحث ارائه شد. سپس، حل معادلات مانند چند جمله‌ایها، معادلات متعالی، چند معادله خطی یا غیر خطی چند مجهولی توسط روش کمترین مربعات شرح داده شد. حل معادلات انتگرالی و دیفرانسیلی توسط روش MLS نیز ارائه شد. روشهای دیگری نیز مانند روش ممان (MOM) برای حل معادلات انتگرالی مانند معادلات هالن و پاکلینگتون برای آنتنهای سیمی تدوین شده و بطور مؤثری به کار رفته است. برای یک مقایسه جامع بین روشهای MLS و MOM برای حل معادلات هالن و پاکلینگتون خواننده علاقمند به مرجع [۸۳] ارجاع داده می‌شود. مزایا و معایب روش MLS به تفصیل در آنجا ارائه شده است و برای جلوگیری از اطاله کلام از ذکر آن در این

برای سادگی، ضرب داخلی وزن نشده (با ماتریس [W] برابر ماتریس یک) را اختیار می‌کنیم. پاسخ برای منابع  $f_n$  توسط معادله (۱۰۲) به دست می‌آید. این جواب تا حدی صادق است که M به اندازه کافی بزرگ باشد که حداقل تعداد N معادله مستقل برای تعداد N مجهول  $f_n$  به دست دهد. بعضی مثالها در مرجع [۹۸] داده شده است.

حال، مسئله ستر پرتو بر حسب تنها دامنه‌ها را در نظر می‌گیریم. فرض کنید که  $h = |g_o|$  دامنه میدان مطلوب باشد و بردار  $h$  را با مشخص کردن اندازه‌اش  $h_m$  در تعداد M نقطه روی کره تشعشع می‌سازیم. مجدداً منبع را گسسته می‌سازیم و آن را توسط بردار  $f$  نمایش می‌دهیم. می‌خواهیم منبع  $f$  را تعیین کنیم، بطوری که تابع خطای پرتو زیر را کمینه سازد:

$$\varepsilon = \| [T]f - h \|^2 \quad (105)$$

که بر حسب مولفه‌های عبارتست از:

$$\varepsilon = \sum_{m=1}^M W_m \left\| \sum_{n=1}^N f_n T_{mn} - h_m \right\|^2 \quad (106)$$

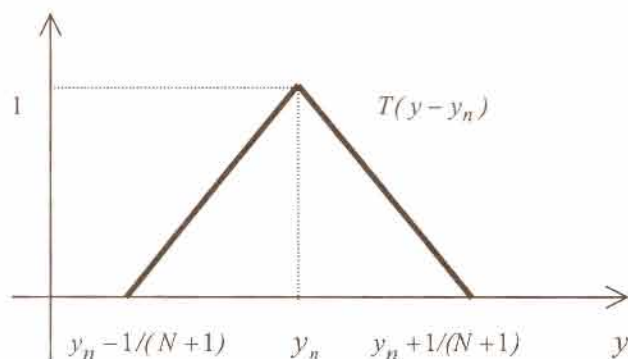
در اینجا  $W_m$  ضرایب وزنی هستند. برای تسهیل در عملیات جبری، تابع خطای کلیتر زیر را در نظر می‌گیریم:

$$\varepsilon(f, \beta) = \sum_{m=1}^M W_m \left\| \sum_{n=1}^N f_n T_{mn} - h_m e^{j\beta_m} \right\|^2 \quad (107)$$

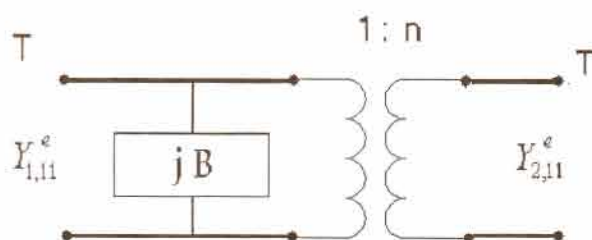
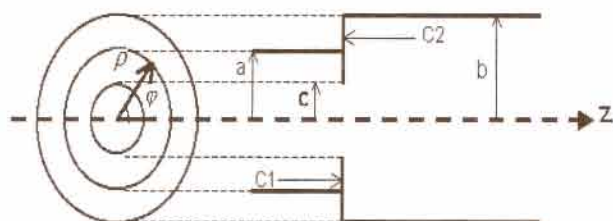
هنگامی که پرتو توسط دامنه  $h_m$  و فاز  $\beta_m$  مشخص می‌شود، این تابع خطا به کار می‌رود. بنابراین، اگر  $\beta_m$  ثابت باشد،  $f_n$  برای حداقل اندازه توسط معادله (۱۰۲) به دست می‌آید. اگر  $f_n$  ثابت باشد، هنگامی حداقل  $\varepsilon$  به دست می‌آید که هر دو جمله داخل علامت قدر مطلق (دامنه) در معادله (۱۰۷) هم فاز باشند. یعنی:

$$e^{j\beta_m} = \frac{\sum_{n=1}^N f_n T_{mn}}{\left| \sum_{n=1}^N f_n T_{mn} \right|^2} \quad (108)$$

یک روش تکراری برای کمینه‌سازی معادله (۱۰۷) بطریق



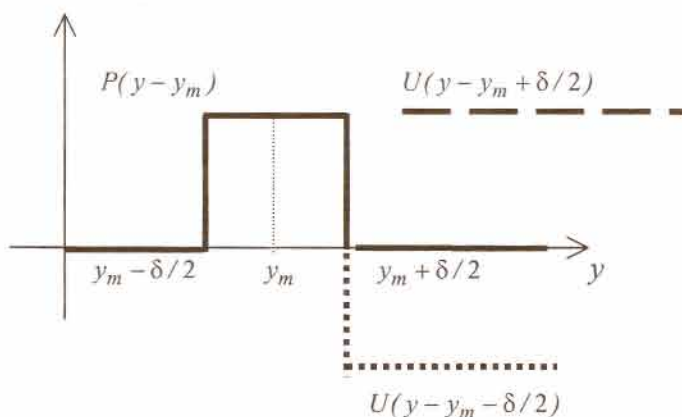
شکل ۲ تابع پایه مثلثی



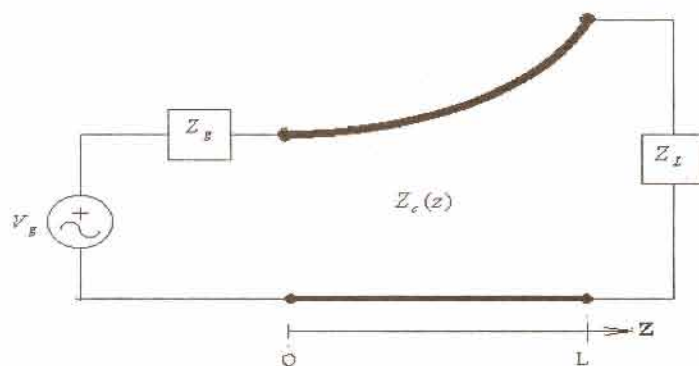
شکل ۳ پیوندگاه دو موجبر استوانه‌ای با سطح مقطع اختیاری  
(الف) پیوندگاه دو موجبر استوانه‌ای دایروی، (ب) مدار معادل  
پیوندگاه

مقاله صرفنظر می‌شود. تنها اشاره می‌کنیم که عدد وضعیت ماتریسهای روش MLS از روش MOM بدتر است ولی همگرایی روش MLS نسبت به روش MOM استحکام بیشتری دارد. سپس مسائل الکتریسیته ساکن از طریق حل معادلات خطی (مانند معادله لاپلاس در محیط خطی و همگن) تحت شرایط مرزی توسط MLS تحلیل شد. روش باقیمانده مرزی کمترین مربعات برای تحلیل پیوندگاه موجبرهای استوانه‌ای شرح داده شد. تحلیل مسائل دیگر مانند نوار فلزی صفحه E و نواز فلزی روی ورق دی‌الکتریک صفحه E در موجبر مستطیلی نیز در مراجع [۵۲-۵۳] انجام شده است. طراحی مبدل‌های امپدانس و پیونده چند سوراخه به اختصار در این مقاله شرح داده شد. پیونده‌های خط پیونیده [۶۸-۶۹]، خط شاخه‌ای و حلقوی [۶۷] نیز در مراجع ارائه شده است. بالاخره، یک روش سنتز پرتو آنتن بر مبنای MLS ارائه شد.

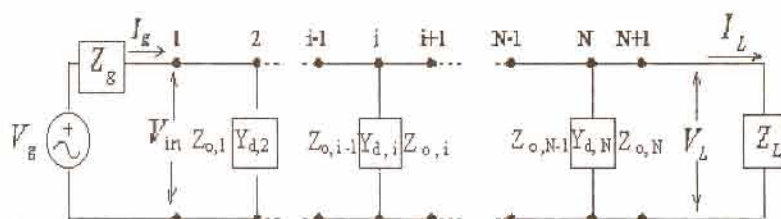
در این مقاله عمدتاً روش ساخت تابع خطا برای تحلیل و طراحی مسائل مختلف الکترومغناطیس ارائه شد. برای شرح کامل هر یک از مسائل و جزئیات کمینه‌سازی تابع خطا و تحلیل نتایج، خواننده به مراجع ارجاع داده می‌شوند. بنابراین، مشاهده می‌شود که روش کمترین مربعات می‌تواند به سادگی برای تحلیل و طراحی مسائل مختلف مهندسی الکترومغناطیس به کار رود.



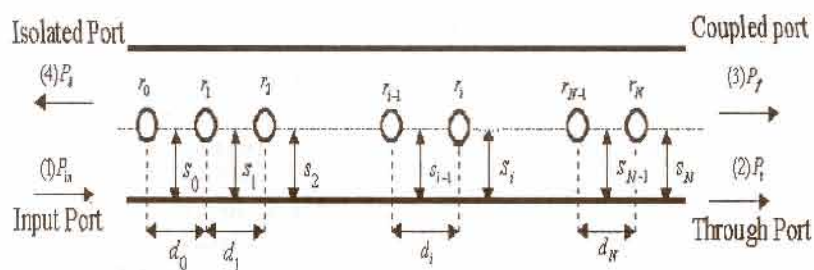
شکل ۱ تابع پایه پالس



شکل ۴ خط انتقال باریک شونده به عنوان یک مدل امپدانس



شکل ۵ مدل امپدانس خط پله‌ای



شکل ۶ نمای فوقانی یا جانبی یک پیونده جفتی چند سوراخه موجر مستطیلی.



## ۱۳- مراجع

## مراجع کلی

- [1] D. E. Smith, *History of Mathematics*. Vol.1, Boston: Ginn and Company, 1923
- [2] D. A. Pierre, *Optimization Theory with Applications*. New York: John Wiley & Sons, 1969.
- [3] J. Kwalik and M. R. Osborn, *Methods of Unconstrained Optimization*. New York: John Wiley & Sons, 1969.
- [4] S. Nakamura. *Applied Numerical Methods with Software*. New York: Prentice Hall International, 1991.
- [5] J. H. Mathews, *Numerical Methods for Computer Science, Engineering and Mathematics*. Englewood Cliffs, NJ: Prentice- Hall, 1987.
- [6] L. W. Johnson and R. D. R. Riess, *Numerical Analysis*, 2nd Ed. Reading, MA: Addison-Wesley, 1982.
- [7] P. Henrici, *Elements of Numerical Analysis*. New York: John Wiley & Sons, 1964.
- [8] R. F. Harrington, *Field Computation by Moment Methods*. New York: The Macmillan Company, 1968.
- [9] J. J. H. Wang, *Generalized Moment Methods in Electromagnetics*. New York: John Wiley & Sons, 1991.
- [10] T. Itoh, ed., *Numerical Techniques for Microwave and Millimeter- Wave Passive Structures*. New York: John Wiley & Sons, 1989.
- [11] R. C. Booton, Jr., *Computational Methods for Electromagnetics and Microwaves*. New York: John Wiley & Sons, 1992.
- [12] E. K. Miller, L. Medgyesi – Mitschang and E. H. Newman, eds., *Computational Electromagnetics, Frequency- Domain Method of Moments*. New York: IEEE Press, 1992.
- [13] R. E. Collin, *Foundations for Microwave Engineering*, 2nd ed.. New York: McGraw- Hill Book Co., 1990.
- [14] O. P. Gandhi, *Microwave Engineering and Applications*. New York: Pergamon Press, 1981.
- [15] D. M. Pozar, *Microwave Engineering*. 2nd ed. Reading, MA: Addison Wesley, 1998.
- [16] A. F. Peterson, S. L. Ray and R. Mittra, *Computational Methods for Electromagnetics*. New York: IEEE Press, 1998.
- [17] R.F. Harrington, *Time- Harmonic Electromagnetic Fields*. New York: McGraw- Hill, 1961.
- [18] C.A. Balanis, *Advanced Engineering Electromagnetics*. New York: John Wiley & Sons, 1989.
- [19] W. L. Stutzman and G. A. Thiele, *Antenna Analysis and Design*, 2nd ed. New York: Wiley, 1998.

- [20] T. K. Sarkar, ed., *Application of Conjugate Gradient Method to Electromagnetics and Signal Analysis*. New York: Elsevier 1991.
- [21] M. Becker, *The Principles and Applications of Variational Methods*. Cambridge, MA: MIT Press, 1964.
- [22] B. A. Findlaysen, *The Method of Weighted Residuals and Variational Principles*. New York: Academic, 1972.
- [23] R. Mittra, ed., *Computer Techniques for Electromagnetics*. New York: Pergamon, 1973.
- [24] R. Mittra, ed., *Numerical and Asymptotic Techniques in Electromagnetics*. New York: Springer, 1975.
- [25] I. Stakgold, *Green's Functions and Boundary Value Problems*. New York: Wiley, 1979.

## حل معادلات

- [26] H. Oraizi, "Solution of equations by the method of least squares," *Iran University of Science and Technology*, Vol. 5, No. 2a, Fall 1994, PP 23-45.
- [27] H. Chen, "A special least squares method for curve fitting", *Proc. 1992 Int'l Conf. Power Electronics and Motion Cont.* 9-13, Nov, 1992, Vol. 3, PP. 358- 363.
- [28] J. R. Popovic and J. W. Bandler, "A special program for least pth approximation including interpolation", *IEEE Trans. Microwave Theory Tech.*, Vol. MTT-22, No. 1, P.76, Jan. 1974.
- [29] J. R. Popovic and J. W. Bandler, "A general program for discrete least pth approximation", *IEEE Trans. Microwave Theory Tech.*, Vol. MTT-22, No. 1, PP 76-77, Jan. 1974.

## مسائل الکتریسته ساکن

- [30] T. K. Sarkar and S. M. Rao. "An iterative method for solving electrostatic problems," *IEEE Trans. Antennas Propagat.*, Vol. AP-30, PP 611-616, 1982.
- [31] S. Jovicevic and L. Stanlovic, "The least squares boundary residual method in electrostatic and eddy current problems", *IEEE Trans. Magnetics*, Vol. M- 26, No. 2, PP 1117-1122, March 1990.
- [32] V. V. Sanjaynath, N. Balakrishnan, and G. R. Nagabhushana, "Application of conjugate gradient method for static problems involving conductors of arbitrary shape," *IEEE Trans. Antennas Propagat.* Vol. AP-42, No. 7, PP 1028-1033, July 1994.

## موجبرها

- [33] F. L. Ng, "Tabulation of methods for the numerical solution of the hollow waveguide



- problem," *IEEE Trans. Microwave Theory Tech.*, Vol. MTT-22, No. 3, PP 322-329, March 1974.
- [34] H. Oraizi, *A Numerical Method for the Solution of Waveguide Discontinuities*, Ph. D. Dissertation, Technical Report TR-73-8, Syracuse University, Syracuse, NY, August 1973.
- [35] H. Oraizi and J. Perini, "A numerical method for the solution of the junction of cylindrical waveguides," *IEEE Trans. Microwave Theory Tech.*, Vol. MTT-21, PP 640-2, Oct. 1973.
- [36] H. Oraizi, and J. Perini, "A numerical method for the solution of junction of cylindrical waveguides," *IEEE G-MTT International Microwave Symposium*, June 4-5, 1973, University of Colorado, Boulder, Colorado, U.S.A.
- [37] J. B. Davies, "A least square boundary residual method for the numerical solution of scattering problems", *IEEE Trans. Microwave Theory Tech.*, Vol. MTT-21, PP 99-104, Feb. 1973.
- [38] H. Larviere and J. B. Davies, "The solution of electromagnetic eigen-value problems by least squares boundary residuals", *IEEE Trans. Microwave Theory Tech.*, Vol. MTT-23, PP 436-44, May 1975.
- [39] R. Jansen, "On the performance of the least squares method for waveguide junctions and discontinuities," *IEEE Trans. Microwave Theory Tech.*, Vol. MTT-23, PP 436-441, May 1975.
- [40] H. Oraizi, "Mode matching in the microwave discontinuity problems by the method of least squares", *Journal of the Faculty of Engineering*, University of Tehran, No. 30, PP 16-33, January 1975.
- [41] H. Oraizi, "Solution of the Junction of TE<sub>11</sub> - Mode circular waveguides by the least squares method", *Progress in Electromagnetics Research Symposium*. (PIERS), Nantes, France, 13-17 July, 1998.
- [42] H. Oraizi, "Least square solution for the junction of TE<sub>11</sub> - mode circular waveguides", *Proc. Sixth Iranian Conference on Electrical Engineering*, 12-14 May, 1998, Kh. N. Toosi Univ. of Tech., PP 149-155.
- [43] F. A. Fernandez and J. B. Davies, "Least squares boundary residuals solution of microstrip discontinuities", *Electronics Letters*, Vol. 12, No. 10, PP 640-1, 12 May, 1988.
- [44] H. Oraizi, "Solution of the junction of TE<sub>11</sub> - mode circular waveguides by the method of least squares", (to be published) *International Journal of Engineering Science*, Iran University of Science & Technology.
- [45] S.P. Yeo, "Dielectric-loaded elliptical waveguide", *Electronics Letters*, Vol. 27, No. 23, PP 2185-2187, 7 Nov., 1991.
- [46] S. P. Yeo, "Application of least- squares boundary residual method to the analysis of a circular waveguide loaded with non-concentric dielectric rod," *IEEE Trans. Microwave Theory Tech.*, Vol. MTT 38, No. 8, PP 1092-1095, Aug. 1990.
- [47] L. Stankovic and S. Jovicevic, "Boundry condition expansion of basis functions method implemented by fast fourier transform algorithm," *IEEE Trans. Microwave Theory Tech.*, Vol. MTT-38, No.3, PP 296-301, March 1990.
- [48] M. L. Riabi, M. Ahmadpanah, H. Benzina, H. Baudrand and V. Fouad Hanna, "Performance of the LSBRM using efficient weighting functions for planar structures", *IEE. Proc. Microwaves, Antennas and Propagat.*, Vol. 142, No. 4, PP 364-368, Aug. 1995.
- [49] W. Schroeder and I. Wolf, "The origin of spurious modes in numerical solutions of electromagnetic field eigenvalue problems," *IEEE Trans. Microwave Theory Tech.*, Vol. MTT-42, No.4, PP 644-653, April 1994.
- [50] M. Ghomi, S. Pujol and H. Baudrand, "Full-wave analysis of microstrip patch antenna by a modified least- squares boundary residuals method," *IEEE Antennas Propagat. Soc. Int'l Symp.*, 18-23 June 1995, AP-S Digest, Vol. 2, PP 964-967.
- [51] H. Baudrand, M. Boussouis and J. L. Amalric, "Analysis of some planar structures by the least-squares boundary residual method." *IEEE Trans. Microwave Theory Tech.*, Vol. MTT-34, PP 298-301, Feb. 1986.
- [52] H. Oraizi and T. Pakizeh, "Analysis of the E-Plane metal strip on a dielectric slab in rectangular waveguides," *Proceedings of the Canadian Conference on Electrical & Computer Engineering*, CCECE'02, May 12 to 15, 2002, Winnipeg, Manitoba, Canada.
- [53] H. Oraizi and T. Pakizeh, "Analysis of E- plane strips in rectangular waveguides," *Proceedings of the Mediterranean Microwave Symposium*, 2002, MMS 2002, Caceres, Spain, June 26-28, 2002, PP CP-43 to CP- 46.
- [54] H. Oraizi and R. Khalili, "Analysis of the junction of cylindrical waveguides with arbitray cross-section by MLS," *International Journal of Engineering Science*, Vol. 12, No. 4, Winter 2002, PP 131-147.

## تبدیل و تطبیق امیدانس

- [55] L. M. M. Anderson, B. A. Mair, M. Rao and C. H. Wu, "A weighted least squares method for PET", *IEEE Nuclear Sci. Symp. And Medical Imaging*



- Conf., 21-28 Oct. 1995, Vol. 2, PP 1292-1296.
- [56] H. Oraizi and J. Perini, "Nonuniform transmission line synthesis by least squares," *Proc. of First Iranian Congress of Electrical and Electronics Engineering*, Shiraz University, 12-16 May 1974.
- [57] H. Oraizi and J. Perini, "Nonuniform transmission line synthesis by least squares," *Iranian Journal of Science and Technology*, Shiraz University, Vol. 5, PP 131-141, May 1976.
- [58] H. Oraizi, "Design of impedance transformers by the method of least squares," *Proc. Third Iranian Conference on Electrical Engineering*, 15 to 18 May 1995, (Volume on Communications), Iran Univ. of Sci. & Tech., Tehran, Iran.
- [59] H. Oraizi, "Design of impedance transformers by the method of least squares," *IEEE Trans. Microwave Theory Tech.*, Vol. MTT-44, March 1996, PP 389-399.
- [60] H. Oraizi, "Complex impedance stepline transformer design by the method of least squares," *Proc. Fourth Iranian Conference on Electrical Engineering*, 13-16 May 1996, (Volume on Communications), Faculty of Engineering, University of Tehran, PP 190-197.
- [61] H. Oraizi, "Optimum Design of stepline transformers of arbitrary length including step discontinuities," *Iranian Journal of Science and Technology*, Transaction B, Shiraz University, Iran Vol. 25, No.1, 2001 PP, 1-14.
- [62] H. Oraizi and E. Taghaddosi, "Design, construction and testing of microstrip impedance transformers by the method of least squares," *Proc. Eighth Iranian Conference on Electrical Engineering*, 17-19 May 2000, Isfahan University of Technology, Isfahan, (Volume on Communications), PP 104-115.

#### پیوندهای جہتی

- [63] H. Oraizi, "Optimum design of multihole directional couplers with arbitrary aperture spacing," *Proc. Fifth Iranian Conference on Electrical Engineering*, 7-9 May 1997, (Volume on Communications), Sharif University of Technology, Tehran, PP 256-262.
- [64] H. Oraizi, "Optimum design of multihole directional couplers with arbitrary aperture spacing," *IEEE Trans. Microwave Theory Tech.*, Vol. MTT-46, PP 331-342, April 1998.
- [65] M. Rajarajan, B. M. A. Rahman and K. T. V. Grattan, "Numerical study of spot-size expanders for an efficient OEIC to SMF coupling," *IEEE Photonics Technology Letters*, Vol. 10, No. 8, PP 1082-1084, Aug. 1998.
- [66] M. Rajarajan, B. M. A. Rahman and K. T. V. Grattan, "A rigorous comparison of the performance of directional couplers with multimode interference devices," *Journal of Lightwave Technology*, Vol. 17, No. 2, PP 243-248, Feb. 1999.
- [67] H. Oraizi and M. Bakhshandeh, "Optimum Design of Microstrip Ring Couplers with Arbitrary Power Division and Impedance Matching," *Proceedings of the Mediterranean Microwave Symposium*, MMS 2002, Caceres, Spain, June 26-28, 2002, PP, CP: 205 CP: 208.
- [68] H. Oraizi and G. R. Gabaranzad- Ghadim, "Optimum Design of Broadband Multi- Section Coupled- Line Couplers with Arbitrary Coupling and Impedance Matching," (to be Published), *Institute of Electrical, Information and Communication Engineers*, (IEICE) Transactions, Japan.
- [69] H. Oraizi and Gh. R. Gabaranzad- Ghadim, "Optimum Design of Broadband Multisection Coupled - Line Couplers With Real Impedance Matching," (to be Published), *International Journal of Engineering Science*, Iran University of Science and Technology.

#### تشعشع از آنتنها

- [70] D. R. Rhodes, "The optimum line source for the best mean square approximation to a given radiation pattern," *IEEE Trans. Antennas and Propagat.*, Vol. AP-11, PP 440-446, July 1963.
- [71] A. N. Tihonov, "Solution of incorrectly formulated problems and the regularization method," *Sov. Math.*, Vol. 4, PP 1034-1038, July-Dec. 1963.
- [72] D. R. Rhodes, "On an optimum line source for maximum directivity," *IEEE Trans. Antennas Propagat.*, Vol. AP-19, PP 485-492, July 1971.
- [73] M. Zuhair Nashed, "Operator- theoretic and computational approaches to ill-posed problems with applications to antenna problems," *IEEE Trans. Antennas Propagat.*, Vol. AP-29, No. 2, PP 220-231, March 1981.
- [74] T. K. Sarkar, "A note on variational method (Rayleigh- Ritz), Galerkin's method and the method of least squares," *Radio Sci.*, Vol. 18, PP 1207-1224, No.- Dec. 1983.
- [75] H. Oraizi and Sh. Jam, "Optimum design of the tapered slot antenna based on simulation by the method of least squares," *Proc. Eight Iranian Conference on Electrical Engineering*, 17-19 May 2000, Isfahan University of Technology, Isfahan, (Volume on Communications), PP 26-33.
- [76] Sh. Jam and H. Oraizi, "Optimization of tapered slot antenna profile by the method of least



- squares." *Millenium Conference on Antennas & Propagat.* Ap 2000 Davos, Switzerland, 9-14 April 2000.
- [77] B. M. Kolundzija, "A new gernal method for numerical solution of linear integral equations in numerical electromagnetics," *Int'l Conf. Computation in Electromagnetics*, 1991, PP 226-229.
- [78] Weng Cho Chew, and Cai-Cheng Lu, "A multilevel NlogN algorithm for solving boundary integral equation", *IEEE Antennas Propagat. Soc Int'l Symp.*, 20-24 June 1994, AP-S Digest, Vol. 1, PP 431-434.
- [79] H. Oraizi and E. Mokhtab, "Analyzing a Dipole Antenna Using Matrix Form of MLS," *Proceedings of the Mediterranean Microwave Symposium, MMS 2002*, Caceres, Spain, June 26-28, 2002, PP: CP: 47 to CP: 50.
- [80] H. Oraizi and E. Mokhtab, "Analyzing a Folded Dipole Antenna Using Matrix Form of MLS," *Proceedings of the Mediterranean Microwave Symposium, MMS 2002*, Caceres, Spain, June 26-28, 2002, PP: CP:51 to CP: 54.
- [81] H. Oraizi and Sh. Jam, "Optimum Design of Tapered Slot Antenna Profile," (to be Published), *IEEE Transactions on Antenna and Propagat.*
- [82] H. Oraizi and A. R. Hajhoseini- Mesgar, "Solution of Hallen and Pocklington Integral Equations for Cylindrical Antennas by the Method of Least Squares," *Progress in Electromagnetic Research Symposium (PIERS 2001)*, July 18-22, 2001, Osaka, Japan, P 528.
- [83] H. Oraizi and A. R. Hajhoseini- Mesgar, "Solution of Hallen Integral Equation for Cylindrical Antennas by the Method of Least Squares," *The Ninth Iranian Conference on Electrical Engineering, Power & Water Institute of Technology*, May 8-10, 2001, Tehran, Iran, PP 33-1 to 33-10.
- [84] Sh. Jam and H. Oraizi, "Analysis of Tapered Slot Antenna by the Method of Least Squares," *The Ninth Iranian Conference on Electrical Engineering, Power & Water Institute of Technology*, May 8-10, 2001, Tehran, Iran, PP 31-1 to 31-10.
- سنتر پرتو آنتن و آرایه‌ها**
- [85] J. Perini and M. Idselis. "Note on antenna pattern synthesis using numerical iterative methods", *IEEE Trans. Antennas Propagat.*, AP- Vol. 21, No 3, PP 284-286 March 1971.
- [86] J. Perini and J. R. Stewart, "Solution of the scattering by wires and the conformal array pattern by optimization techniques," *22nd Annual Symposium USAF Antenna Research and Development Program*, University of Illinois, October 1972.
- [87] Y. T. LO, S. W. Lee and Q. H. Lee, "Optimization of directivity and signal-to- noise ratio of an arbitrary antenna array," *Proc. IEEE*, Vol. 54, PP 1033-1045, Aug. 1966.
- [88] H. Steyskal, "Synthesis of antenna patterns with presctibed nulls," *IEEE Trans. Antennas Propagat.*, Vol. AP-30, No.3, PP 273-279, March 1982.
- [89] M. F. Catedra, J. A. Alcaraz and J. C. Arredondo, "Analysis of arrays of Vivaldi and LTSA antennas," *IEEE Antennas Propagat. Soc. Int'l Symp.*, 26-30 June 1989, AP-S Digest, Vol.1, PP 122-125.
- [90] Meng Hwa Er "Linear antenna array pattern synthesis with prescribed broad nulls," *IEEE Trans. Antennas Propagat.*, Vol. AP-28, No. 9, PP 1496-1498, Sept. 1990.
- [91] Kai Liu and Wei Hong, "Analysis of patch arrays based on FDTD method," *Proc. Asia Pacific Microwave Conf., APMC' 97*, 2-5 Dec. 1997, Vol. 1, PP 265-268.
- [92] L. I. Vanskelainen, "Iterative least-squares synthesis methods for conformal array antennas with optimized polarization and frequency properties," *IEEE Trans. Antennas Propagat.*, Vol. AP-48, No. 7, PP 1179-1185, July 1997.
- [93] B. Lindmark, S. Lundgren, J. R. Sanford, and C. Beckman, "Dual- polarized array for signal processing applications in wireless communications," *IEEE Trans. Antennas Propagat.*, Vol. AP-46, No. 6, PP 758-763, June 1998.
- [94] Yi Chu and Wen- Hsien Fang, "A novel wavelet-based generalized sidelobe canceller," *IEEE Trans. Antennas Propagat.* Vol. Ap-47, No.9, PP 1485-1494, Sept. 1999.
- [95] Sh. J. Yu and J. H. Lee "Efficient eigenspace based array signal processing, using multiple shift- invariant subarrays", *IEEE Trans. Antennas Propagat.*, Vol. AP-47, No.1, PP 186-194, Jan. 1999.
- [96] H. An, B. Nauwelaers and A. Vande Capele, "A new approach of broadband microstrip antenna design," *IEEE Antennas Propagat. Soc. Int'l Symp.*, URSI Radio Science and *IEEE Nuclear EMP Meetings*, 18-25 July 1992. AP-S Digest Vol.1, PP 475-478.
- [97] G. A. Deschamps and H. S. Cabayan, "Antenna synthesis and solution of inverse problems by regularization methods," *IEEE Trans. Antennas Propagat.*, Vol. AP-20, PP 268-274, May 1972.
- [98] J. R. Mautz and R. F. Harrington, "Computational methods for antenna pattern synthesis", *IEEE*



- Trans. Antennas Propagat.*, Vol. AP-23, No. 7, PP 507-512, July 1975.
- [99] V.I. Popovkin and V.I. Yelumeyev, "Optimization and systematization of solutions to antenna synthesis problems," *Radio Eng. Electron. Phys.*, Vol. 13, No. 5, PP 682-686, 1968.
- [100] V. I. Popovkin, G. I. Scherbakov and V. I. Yelumeyev, "Optimum solutions of problems in antenna synthesis theory," *Radio Eng. Electron. Phys.*, Vol. 14, No. 7, PP 1025-1030, 1969.
- [101] L. D. Bakhrakh and V. I. Troytskiy, "Mixed problems of antenna synthesis," *Radio Eng. Electron. Phys.*, Vol. 12, PP 404-414, Mar. 1967.
- [102] Y. I. Chomi, "Synthesis of an antenna according to a given amplitude radiation pattern," *Radio Eng. Electron. Phys.*, Vol. 16, PP 770-778, May 1971.
- [103] O. M. Bucci, G. D'Elia, G. Mazzarella and G. Panariello, "Antenna Pattern synthesis: A new general approach," *Proc. IEEE*, Vol 82, No. 3, PP 356-371, March 1994.
- پراکندگی**
- [104] M. Bertero and Ch. De Mol, "Stability problems in inverse diffraction," *IEEE Trans. Antennas Propagat.*, Vol. AP-29, No. 2, PP 368-372, March 1981.
- [105] P. M. Van den Berg, "Iterative computational techniques in scattering based upon the integrated square error criterion," *IEEE Trans. Antennas Propagat.*, Vol. AP-32, PP 1063-1071, Oct. 1984.
- [106] L. J. Stankovic and S. Jovicevic, "Modified least squares method with application to diffraction and eigenvalue problems," *IEE Proc. Microwaves, Antennas Propagat.*, Vol. Proc. H-135, No. 5, PP 339-343, Oct. 1988.
- [107] K. Joo and M. F. Iskandar, "A new procedure of point matching method for calculating the absorption and scattering of lossy dielectric objects," *IEEE Trans. Antennas Propagat.*, Vol. AP-38, No. 9, PP 1483-1490, Sept. 1990.
- [108] D. J. Wingham and R. H. Devayya, "A note on the use of the Neumann expansion in calculating the scatter from rough surfaces," *IEEE Trans. Antennas Propagat.*, Vol. AP-40, No. 5, PP 560-563, May 1992.
- [109] K. Sawaya, S. Yatabe and S. Adachi, "Exterior moment method analysis of conducting scatterers by using the interior Green's function and the method of least squares," *IEEE Trans. Antennas Propagat.*, Vol. AP-40, No. 5, PP 563-565, May 1992.
- [110] B. G. Salman and A. McCowen, "A comparative study of the computation of near-field scattering from resonant dielectric/PEC scatterers," *IEEE Trans. Magnetics.*, Vol. M-32, No. 3, PP 866-869, May 1996.
- [111] Cai - Cheng Lu and Weng Choo Chew, "A near - resonance decoupling approach (NRDA) for scattering solution of near-resonant structures," *IEEE Trans. Antennas Propagat.*, Vol. AP-45, No.12, PP 1857-1862, Dec. 1997.
- [112] T. Morisue, T. Yajima, T. Kume and S. Fujimora, "Analysis of electromagnetic force for shaping the free surface of a molten metal in a cold crucible," *IEEE Trans. Magnetics.*, Vol. M-29, No. 2, PP 1562-1565, March 1993.
- [113] D. Vileneuve and J. P. Webb, "Accuracy versus cost for three efficient finite - element solvers," *IEEE Trans. Magnetics.*, Vol. M-32, No. 3, PP 1385-1388, May 1996.
- [114] H. Ismailoglu, O. Kalenderli and M. Ozkaya, "Determination of impulse breakdown voltage using least squares method," *Conf. Electrical Insulation and Dielectric Phenomenon.*, *IEEE 1997 Annual Report*, 19-22 Oct. 1997, Vol. 1, PP 246-249.